

جيومورفولوجية المسالات البحريّة
بساحل البحر الأحمر بين رأس الغردقة ورأس
أبوسومة، مصر باستخدام نماذج المحاكاة الرياضية

د. سيد محمود مرسى سعيد
أستاذ مساعد بقسم الجغرافيا،
كلية الآداب، جامعة الفيوم
smm11@fayoum.edu.eg

مقدمة:

تنشر ظاهرة المسلطات البحريّة في القطاع الساحلي والجزر الشاطئية الممتدة أمامه من رأس الغردقة شمالاً حتى رأس أبو سومة جنوباً، ويبلغ طول هذا القطاع من الساحل نحو ٥٠ كم. تقع رأس الغردقة عند تقاطع دائرة عرض ٤٨°٧٥' شماليًّا وخط طول ٣٣.٣٦° شرقاً، ورأس أبو سومة تقع عند تقاطع دائرة عرض ٤٤.٤٩° شماليًّا وخط طول ٥٣.٢١° شرقاً.

يتميز الساحل بالنشأة الصدعية وتسود عليه خطوط التصدع التي تشكل مضائق موازية ضيقة، مما أدى إلى فتح الممرات البحريّة التي تكون محددة بواسطة الجزر الصخرية الشاطئية الصغيرة التي تشكلت مثل جزيرتي الجفتون الكبير والصغير، جزيرة أبو رماثي، جزيرة أبو منقار، جزيرة سهل حشيش، جزيرة أم الجرمان. كما يتميز خط الساحل في هذا القطاع أيضاً بكثرة تداخل اليابس والماء، حيث تكثر فيه الرؤوس الأرضية مثل رأس الغردقة، ورأس أبو منقار، ورأس الضبعة، ورأس أبو حصيبة، ورأس أبو سومة، والخلجان مثل خليج الغردقة، وخليج أبو منقار، وخليج الضبعة، وخليج الناقة. ويتبعثر العديد من المسلطات البحريّة على ساحل منطقة الدراسة وسواحل الجزر الشاطئية الممتدة أمامه (شكل ١:١). تُعد المسلطات البحريّة من بين الظاهرات الجيومورفولوجية الساحلية الأكثر تميزاً في العالم. بسبب جمال شكلها الصخري، وتُعد المسلطات البحريّة مقصدًا سياحيًّا.

تهدف الدراسة الحاليّة إلى تقديم وصف عام لديناميكيات تشكيل المسلطات البحريّة، وتقديم التعليقات الأساسية التي يمكن مقارنتها مع الطبيعة، ودراسة توزيع المسلطات البحريّة وخصائصها وعلاقتها بالعوامل البحريّة مثل حركة الأمواج من أجل فهم ديناميكيّة حركتها وتطورها.

ولتحقيق أهداف الدراسة، فقد تم الاعتماد على الدراسة الميدانية بصفة أساسية وذلك من أجلأخذ القياسات المورفومترية المختلفة للمسلطات

البحرية، واستخدام نماذج المحاكاة الرياضية حول الديناميكيات التي تتحكم في تشكيل المسلطات البحرية والفترات الزمنية التي تحدث فيها.

وسنقدم دراسة المسلطات البحرية من خلال النقاط التالية:

أولاً: التعريفات المختلفة للمسلطات البحرية.

ثانياً: العوامل التي تُسهم في تشكيل المسلطات البحرية.

ثالثاً: ديناميكية تشكيل المسلطات البحرية:

رابعاً: نموذج المحاكاة الرقمي.

خامساً: تشكيل المسلطات البحرية من نموذج المحاكاة الرقمي:

سادساً: تشكيل المسلطات البحرية بواسطة المعادلات الرياضية:

سابعاً: الملاحظات الميدانية على تشكيل المسلطات البحرية ومراحل تطورها.

ثامناً: الخاتمة، وتتضمن النتائج وبعض التوصيات.

أولاً: التعريفات المختلفة للمسلطات البحرية:

تعرف الموسوعة الجيومورفولوجية للمسلطات البحرية على أنها أعمدة صخرية معزولة تتشكل عندما يتم فصل جزء من الساحل المتراجع عن اليابس الرئيسي، وعادة تكون على طول الشقوق والفوائل (Goudie, 2004). ويُعرف القاموس الجيولوجي للمسلة البحرية على أنها عبارة عن كتلة قائمة من الصخور المنفصلة من الجروف البحرية بواسطة فعل الأمواج وتحيط بها المياه (Glossary of Geology, 1957). ويُعرف الباحث المسلطات البحرية على أنها أشكال أرضية تتكون من كتلة صخرية شديدة الانحدار وغالباً تكون رأسية تقع في البحر بالقرب من الساحل وتشكلت بفعل تحت الأمواج، وتتفصل المسلطات البحرية من الجانب شديد الانحدار من الرؤوس الأرضية. وتُعد المسلطات البحرية بمثابة الأجزاء المتبقية فوق سطح رصيف الشاطئ التي تختلف عن تراجع الجروف.

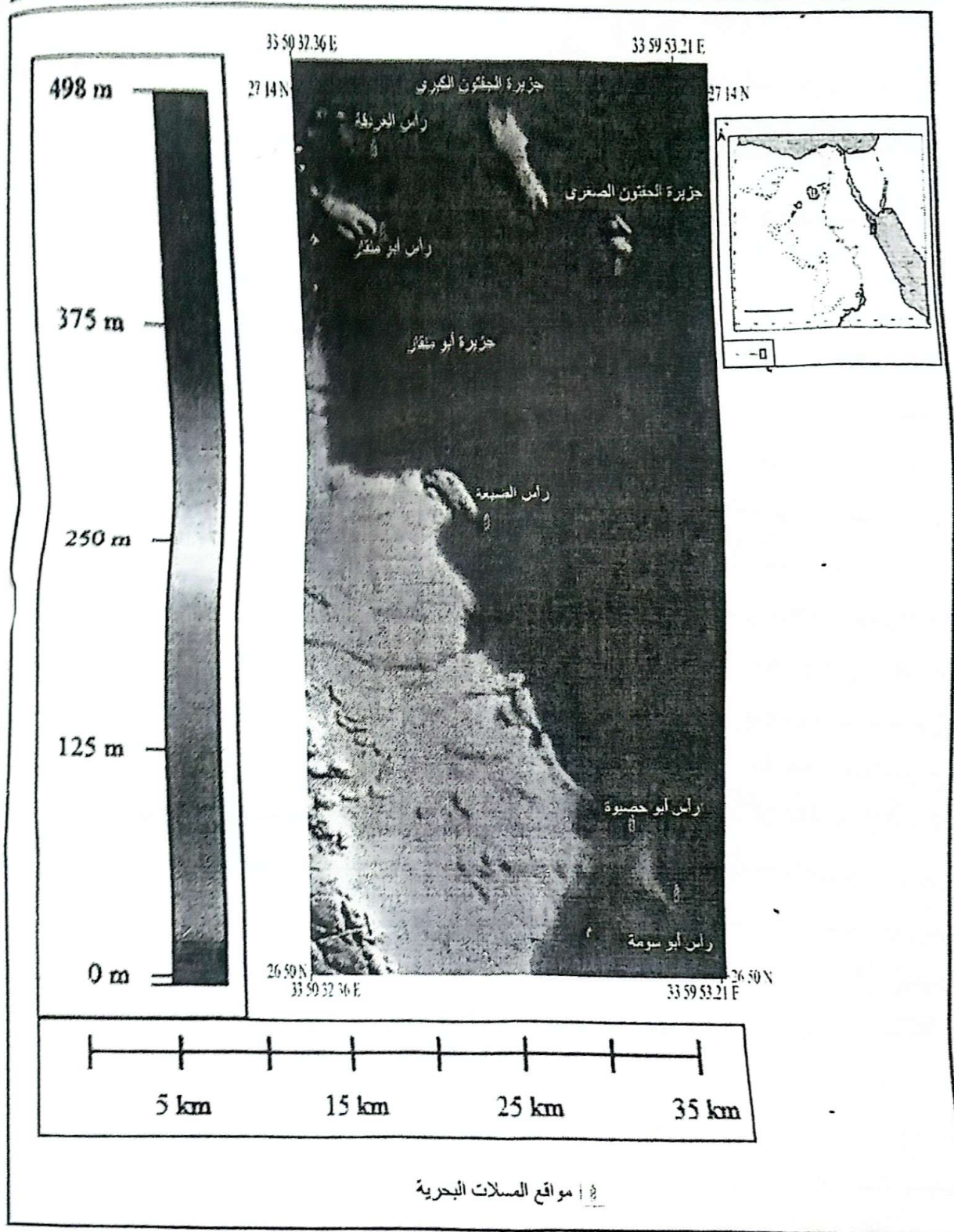


ثانياً: العوامل التي تُسهم في تشكيل المسلاط البحرية:

تتوفر بمنطقة الدراسة بعض العوامل التي تُسهم في تشكيل المسلاط البحرية وهي كما يأتي:

١- الأمواج:

تمتاز خصائص أمواج البحر الأحمر بسمات الرياح الهابطة عليه، حيث تسود الرياح معظم فترات العام وتکاد تتفق مع الاتجاه العام للبحر الأحمر، وتنمي الأمواج بصفة عامة بانخفاض مستواها ولا يزيد ارتفاعها إلا أثناء هبوب العواصف في فصل الشتاء والربع (كمال البتانوني، ١٩٨٩، ص ٢٥٤)، ويتراوح ارتفاع الأمواج بمنطقة الدراسة حسب مقاييس (بيفورد) بين الخفيفة والمتوسطة، حيث يتراوح متوسط ارتفاعها بين ٠.٦ - ١.٢ متر بالنسبة للأمواج الخفيفة، أما بالنسبة للأمواج المتوسطة فيتراوح ارتفاعها بين ١.٢ - ٢.٢ متر، وفي الحالات المضطربة وهي نادرة الحدوث يتراوح ارتفاع الأمواج بين ٢.٥ - ٤ متر ولا يحدث ذلك إلا في الأعماق البعيدة من البحر. وطبقاً لسرعة الرياح بالكم فالأمواج المرتبطة بها تتأثر ب مدى سرعتها حيث تصل أقصاها في الغرفة إلى ٢١.١ كم/ ساعة وتصل أدتها عند رأس أبو سومة إلى ١١.٥ كم/ ساعة.



شكل (١) موقع المسلاط البحري بساحل البحر الأحمر بين رأس الغردقة شمالاً ورأس أبو سومه جنوباً

وتأثير الأمواج في تشكيل المسلطات البحرية وخط الساحل، حيث تقوم كعامل نحت مُختلفة بصماتها في كثير من جهات الساحل، والدليل على ذلك ترکز الجزر المقاطعة أمام الرؤوس الأرضية بصفة خاصة نتيجة لنشاط عوامل النحت الأكثر قوة خاصة الأمواج مثل جزر الجفتون أمام رأس الغردقة، وجزيرة أبو منقار أمام رأس أبو منقار، وجزيرة سهل حشيش جنوب رأس الضبعة، وجزيرة أم الجرchan جنوب رأس أبو سومة سفاجا. وتظهر آثار الأمواج كعامل نحت في الرؤوس الأرضية المنتشرة بساحل منطقة الدراسة في ظهور بعض الكهوف، والأقواس، والمسلطات البحرية (سيد مرسي، ٢٠٠٢، ص ١٠٩)، وذلك عن طريق الفعل الهيدروليكي لكتل المياه ذاتها حيث له تأثير مباشر على تحطيم الصخور بينما تصطدم الأمواج بها وخصوصاً إذا كانت الصخور التي تتالف منها الرؤوس تكثر بها الشقوق والفوائل، بالإضافة إلى عملية تكسير وتفتت صخور الرؤوس بواسطة الأمواج التي تحمل معاول الهدم من جلاميد وحصى ورمال خشنة وذلك بتكرار تقدم وتراجع الأمواج على طول شواطئ الرؤوس، ويؤدي النحت عند قواعد الرأس إلى تكوين بعض التجويفات *Notches* الصغيرة، وقد يزداد اتساع الشقوق والفوائل بواسطة الأمواج وتتحول إلى كهوف وتطور إلى أقواس وأنفاق عبر الرؤوس الممتدة داخل البحر ثم تنهار الأقواس وتشكل المسلطات البحرية.

٢- المد والجزر:

يتميز المد والجزر في منطقة الدراسة بأنه محلي متذبذب، وهذا التذبذب يتمثل في ارتفاع المياه عند النهاية الجنوبية لرأس أبو سومة بينما تنخفض المياه في النهاية الشمالية عند رأس الغردقة. ويلاحظ أن ساحل منطقة الدراسة يعاني من مد عال يتراوح منسوبه عند رأس الغردقة وأبو منقار بين ١٣٠ سم في الشتاء و ١٢٥ سم في الصيف، ويتراوح المد العالى عند رأس أبو سومة بين ١٣٥ سم في الشتاء و ١٠٨ سم في الصيف. ويصل أعلى مستوى للمد في العام عند رأس الغردقة إلى ٩٠ سم بينما يصل في رأس أبو سومة إلى ١١٥ سم.

ومما سبق يتضح أن ساحل منطقة الدراسة يدخل ضمن سواحل قليل المد أقل من ٢ م وذلك طبقاً لتقسيم هيس Hayes حيث يتراوح المد بين منسوب المد والجزر بين ٢١-٤١ متر (الحسيني، ١٩٨٨، ص ٢٨) كما يتضح أن مستوى البحر الأحمر في الشتاء يبلغ أعلى حالاته عنه في الصيف لعظم البحر في فصل الصيف، ولكن الفرق بينهما لا يتجاوز نحو ٣٠ سم، وتسبب الأحوال المناخية أيضاً اختلافات محلية في مستوى سطح المد والجزر وتؤثر أيضاً في طول مدة ارتفاع وانخفاض المياه وبخاصة إذا استمر هبوبها فترات طويلة في اتجاه واحد. ويؤكد هذا سرعة التيارات المدية التي تتفاوت سرعتها بين ٦٣-٦٣ سم / ثانية (Soluman & Gerges, 1983, P. 43) وتصل إلى ١٠٠ سم / ثانية في صورة تيارات مد قوية في المصايف والممرات التي تفصل بين الساحل والجزر التي تمتد أمامه، ويقتصر تأثير حركة المد بساحل منطقة الدراسة عند حدوث المد العالي، حيث يغطي مياه المد العالي قواعد كل من جروف الرؤوس والمسلاط البحرية. وتكون أهمية المد والجزر نصف اليومي في أن الفترة الجافة دائماً أقل من ١٢ ساعة؛ لذلك فإنها تحدد الفترة التي يمكن لعمليات التجوية أن تؤدي أدوارها عندما تكشف الشواطئ أثناء حدوث الجزر وانحسار مياه البحر، حيث تُسهم التجوية على شواطئ الرؤوس بساحل منطقة الدراسة في تفكك الصخور مثل الأحجار الرملية والجيرية، ويساعدها في ذلك عمليات التفكك والتحلل الأخرى مثل الأكسدة والتمدد والانكماس الحراري، وتسهم تيارات المد في نحت قواعد جروف الرؤوس والمسلاط البحرية، فقد لوحظ ميدانياً حول رأسى الغردقة وأيو سومة في شهور الشتاء حيث يبلغ منسوب البحر أعلى حالته، أن مياه المد العالي تُغطي مساحات كبيرة من قواعد المسلاط البحرية (صور: ٧ - ١١)، وتنحصر عنها المياه أثناء الجزر تاركة مفتتات بحرية من القواعق والشعاب على السطح، وقشرة ملحية رقيقة بعد جفافها عندما يصل مستوى البحر إلى أدنى حالاته في الصيف.

٣- التيارات البحربة:

يخضع القطاع الساحلي الذي يمثل منطقة الدراسة من ساحل البحر الأحمر لتأثير الرياح الشمالية والشمالية الغربية السائدة طوال العام؛ لذا يتأثر التيار الساحلي الطولي بهذه الرياح السائدة، ويسير بموازاة الساحل وليس عمودياً عليه (Reid sea and Gulf Eden, 1967, P. 19)، وتقدر سرعته بنحو ١٨ سم/ثانية. أما عن تأثير التيارات البحربة في تشكيل المسالات البحربة بمنطقة الدراسة فنصيبها محدود جداً، فالتيارات الساحلية لا يتعدى دورها عن حمل المواد الناعمة التي تصادفها في طريقها بجوار المسالات البحربة، وتنقلها إلى حيث ترسبها في منطقة شاطئية أخرى، وتكمم أهمية هذه العملية في أنها تزيح نتاج تعرية الأمواج، وتكشف قواعد المسالات البحربة التي تتعرض من جديد لغزو الأمواج.

٤- خصائص الصخور:

تشكل المسالات البحربة عندما تكون قطاعات الجروف الصخرية نشطة والنحت يكون ذو فاعلية كبيرة وتصبح الرؤوس الأرضية الصخرية مقطعة ومنفصلة من اليابس الرئيسي، ومشكلة بذلك جُزراً شاطئية صغيرة. تؤدي الصخور الضعيفة إلى تآكل انتقائي، ويتم شق الرأس الأرضية، ويترك بقايا الجرف البحري الأكثر مقاومة في الخلف في منطقة تكسر الأمواج surf zone، وتطور شكلياً أحياناً من كهف إلى قوس، وفي النهاية إلى مسلة بحرية بعد انهيار القوس (Naylor et al., 2010).

تؤدي خصائص الصخور دوراً مهماً في تطور صخور الرؤوس التي تنفصل منها المسالات البحربة، فكلما كثرت مواطن الضعف من شقوق وفواصل وسطوح تطبق ومسامية عالية زادت فرصة انهيار وتفكك الصخور وتشكيل المسالات البحربة، وبما أن التكوينات الجيولوجية المكونة للرؤوس المتوجلة في البحر تتالف من الصخور الجيرية شديدة التأثر بعمليتي التجوية والانهيارات الأرضية؛ لذا فقد لوحظ تعرض معظم الرؤوس المنتشرة بمنطقة الدراسة للانهيارات الأرضية التي تتمثل في

تجوية وسقوط الكتل الصخرية والمفخنات الصخرية من الأجزاء العليا للرؤوس، مما يعجل بسقوطها تأثير مياه الأمطار الفجائية التي قد تجري كمسيلات دقيقة على سطح الرؤوس وتخلل الشقوق (صورة: ١).

وتتألف معظم الرؤوس التي تنفصل منها المسلطات البحرية بمنطقة الدراسة من الحجر الجيري والحجر الجيري المرجاني وهذه الرؤوس تبدو مقوضه تقوياً سفلياً واضحاً على طول امتداد قواعدها بحيث تكونت فجوات الأمواج Wave Notches التي يبدو أنها قد اتسعت جانبياً فالتحمت بعضها البعض لتكون توغلاً بحرياً واضحاً عند حضيض هذه الرؤوس المنخفضة التي لا تزيد في ارتفاعها عن عشرة أمتار، فتبدو في شكل شرفات Visors (صورة: ٢).

يؤدي تعاقب عمليتي الترطيب والتجفيف التي تتعرض لها المسلطات البحرية إلى تجوية الصخور الجيرية ونمو وزيادة حجم البلورات الملحيّة في مناطق الشقوق والفوائل المنتشرة بها الأمر الذي يزيد من فعالية عمليات التجوية الميكانيكية عن طريق تمدد وانكماس هذه البلورات في الشقوق والمسام مما يزيد من تفتت وأضعاف الصخر وتكسر المسلطات البحرية إلى أجزاء صغيرة (صور: ٦، ٨، ١١، ١٨).

٥- العوامل البيئولوجية:

للأحياء البحرية دور مهم في إضعاف وتقوية الصخور التي تتألف منها الرؤوس التي تنفصل منها المسلطات البحرية وذلك في مناطق الشقوق والفوائل وخاصة أنها تتكون من صخور الحجر الجيري، وتتنوع وتتعدد وتتنوع أنواع الطحالب بمنطقة الدراسة وتعد الطحالب الخضراء الضارة للزرة من أهم هذه الأنواع، حيث تقوم بتهيئة صخور الرؤوس لنحت الأمواج مما يسهم في انفصال أطراف الرؤوس المتعمقة في البحر على شكل مسلطات بحرية.

ثالثاً، ديناميكيّة تشكيل المسلاط البحريّة:

يرجع تشكيل المسلاط البحريّة في معظم سواحل العالم إلى النحت الموجي، حيث وصف كل من Shepard and Kuhn (1983) نشأة المسلاط البحريّة خلال فترة ٢٣ عاماً على ساحل جزيرة Cape Breton بكندا، وذلك باستخدام سلسلة من الصور الفوتوغرافية، حيث تم حفر كهوف بحرية أفقياً أي في اتجاه طول الشاطئ بواسطة النحت الموجي على طول كلا الجانبين من قاعدة الرأس الأرضية. وعندما التحمت الكهوف في عام ١٩٠٨ تشكّل حينئذ قوس بحري، وبحلول عام ١٩٢١، انهار Sunamura (1992) سلسلة مشابهة من الأحداث على ساحل اليابان، حيث تأكل ٣٠ متر من عرض الرأس الأرضية التي تتالف من الحجر الطيني بسرعة لتشكيل مسلة بحرية صغيرة في غضون ست سنوات. وفي جزيرة Lord Howe بأستراليا أرجع تشكيل المسلاط البحريّة إلى التآكل الانتقائي في الشقوق والفواصل التي تنتشر بالصخور المحلية الأكثر ليونة بواسطة تأثير هيدروليكي الأمواج (Dickson and Woodroffe, 2005, p242).

وفي الدراسة الحاليّة سيتم توضيح دور الرواسب الشاطئية في تشكيل المسلاط البحريّة بمنطقة الدراسة. حيث تؤدي الرواسب الشاطئية إلى تآكل جروف الرؤوس المتوجلة في البحر، ورواسب الشاطئ يمكن أن تُعزز تآكل الجرف البحري من خلال تشتيت طاقة الأمواج المتوجهة من البحر نحو قواعد الجرف البحري. عملية تآكل الجروف، والتجريف الميكانيكي لسطح الجرف البحري تتم بواسطة حبيبات الرمال العالقة والمحمولة مع الأمواج المندفعة نحو الشاطئ (Kline et al., 2014, p56)، وقد لوحظ تحت الجروف على طول كثير من جروف الرؤوس الصخرية بمنطقة الدراسة.

ولوحظ بسواحل الرؤوس الأرضية المنتشرة بمنطقة الدراسة وجزيرة الجفتون الصغرى الممتدة أمام رأس الغردة تفاعلات رواسب المسلاط

البحرية التي يُحركها التأكيل على طول سواحل الرؤوس المتعدلة في البحر. عندما شق الفاصل على طول أحد جوانب الرأس الصخريّة (البارز) من جزيرة الجفتون الصغرى في مياه البحر، ويبدا تشكيل الكهف تصعيب لتشكيل المسلطات البحرية لذا يمكن توفير مساحة صغيرة لتراسيم الرواسب يمكن لتراسيم الرواسب أن تُصبح أداة لتعزيز النحت الهيدروليكي المباشر على طول شواطئ الرأس الأرضية مما يؤدي في النهاية إلى تشكيل المسلطات البحرية (صور: ١ - ٤).

يمكن عن طريق استخدام النموذج الرقمي المقترن في الدراسة الحالية توضيح تأثير البري بواسطة الرواسب الشاطئية على تشكيل المسلطات البحرية بمنطقة الدراسة. وينطبق هذا النمط من تشكيل المسلطات البحرية بشكل خاص على طول السواحل الغنية بالرواسب حيث تكون المياه ضحلة عند قواعد الجروف البحرية وتتألف الجروف من مادة الشاطئ المناسبة الوفيرة التي تُضيف الرمال إلى الشاطئ عندما تسقط (Walkden and Hall, 2011, p534).

رابعاً: نموذج المحاكاة الرقمي:

تعتمد منهجية النماذج في الدراسة الحالية على الاستكشاف. حيث تهدف إلى عرض رؤية عامة لديناميكيات تشكيل المسلطات البحرية بمنطقة الدراسة، وإعداد الأساليب الأساسية التي يمكن مقارنتها مع الطبيعة. ولتحقيق هذه الأهداف، فقد تم التعامل مع العمليات الجيومورفولوجية الطارئة فقط. وعلى الرغم من أن النحت الموجي على وجه الجرف البحري يكون متغيراً على فترات زمنية قصيرة، حيث يتركز النحت في قواعد الجرف البحري، مما يسبب في التقويض السفلي لقواعد الجروف وأنهيار الأسقف المعلقة لاحقاً (Young and Ashford, 2008, p1671). يتم التعامل مع تراجع الجرف البحري كعملية على مدى فترات زمنية طويلة، ومعدل التراجع الذي يحدث بالتساوي على كامل المظهر الجانبي ابتداءً من عمق الشاطئ إلى قمة الجرف البحري الواقعة تحت تأثير نحت الرياح؛ لذا يحتفظ مظهر الجرف البحري على شكله عبر

الزمن (Sallenger et al., 2002, p283). ويمثل معدل تراجع الجرف البحري متوسط الفترة الزمنية ويشمل ضمنياً تغيرات قصيرة الأجل مثل التأكل الناجم عن العواصف.

يفترض النموذج الرقمي المقترن في الدراسة الحالية أن البري هو مصدر التأكل الانتقائي الذي يمكن أن يُسبب تشكيل المسلطات البحرية من الرؤوس الأرضية المنتشرة بمنطقة الدراسة. لا يعتمد النموذج الرقمي الحالي على نقاط الضعف الصخري مثل الشقوق والفاصل، ولكن يعتمد على التفاعل الجيومورفولوجي بين تأكل الصخور، ونقل الرواسب، وظروف الأمواج المحلية. ويمكن عن طريق التعليقات والتحليلات التي سيتم استخراجها من النموذج الرقمي تعليم وتطبيق النتائج على السواحل الفقيرة بالرواسب التي يقل وجود الشواطئ بها، وتزداد أعماق المياه عند حضيض الجروف، والبري في هذه الحالة لا يكون عامل فعال في التأكل بالمقارنة بتأثير قوة الضغط الهيدروليكي للأمواج. (Porter et al., 2010a, p82).

وسيكون التركيز الرئيسي للدراسة الحالية على مدى سرعة تطور المسلطات البحرية التي تحكم في حجم المسلطات البحرية، وخصائص ظروف الأمواج، وشكل الساحل الصخري مثل ارتفاع الجرف البحري، وتكوين وشكل الرؤوس الأرضية التي توفر البيئة الأكثر ملاءمة للبري الذي يؤدي إلى تشكيل المسلطات البحرية.

يُفترض أن يتم توزيع أي فجوات بنوية في الصخر مثل الشقوق والفاصل بالتساوي وتنعكس بِواسطة متوسط معدل تراجع الجرف البحري طويلاً الأجل (Trenhaile et al., 1998, p978). مثل نموذج الجروف البحرية، وأبعاد الشاطئ، ومعدلات تغير خط الشاطئ الرملي التي يكون متوسطها أعلى من الأحداث قصيرة الأمد كالعواصف (Ashton and Murray, 2006a, p298)، ومثل تغيرات موقع الشاطئ، حيث تظل أبعاد الشاطئ ثابتة، وتنتشر الرواسب فوق كل قطاع الشاطئ.

النموذج الحالي الخاص بالمسلطات البحرية عبارة عن مزيج من نماذج تطور خط الساحل التي قدمها كل من Ashton et al. (2001); Valvo

(et al. (2006), and Limber and Murray (2015). في النموذج الحالي، تتحرك الأمواج المندفعة نحو الجروف البحرية التي تألف منها سواحل الرؤوس المتوجلة في مياه البحر بمنطقة الدراسة، وتتسرب الأمواج في تأكل الجروف وتنتج الرواسب الشاطئية التي يتم توزيعها بواسطة عملية نقل الرواسب على طول الشاطئ. يعتمد اتجاه وحجم نقل الرواسب على طول الشاطئ على زاوية الموجة القادمة بالنسبة لاتجاه خط الساحل. كما يتم اختيار زاوية موجة جديدة واتجاه الموجة كل يوم نموذج من دالة التوزيع الاحتمالي.

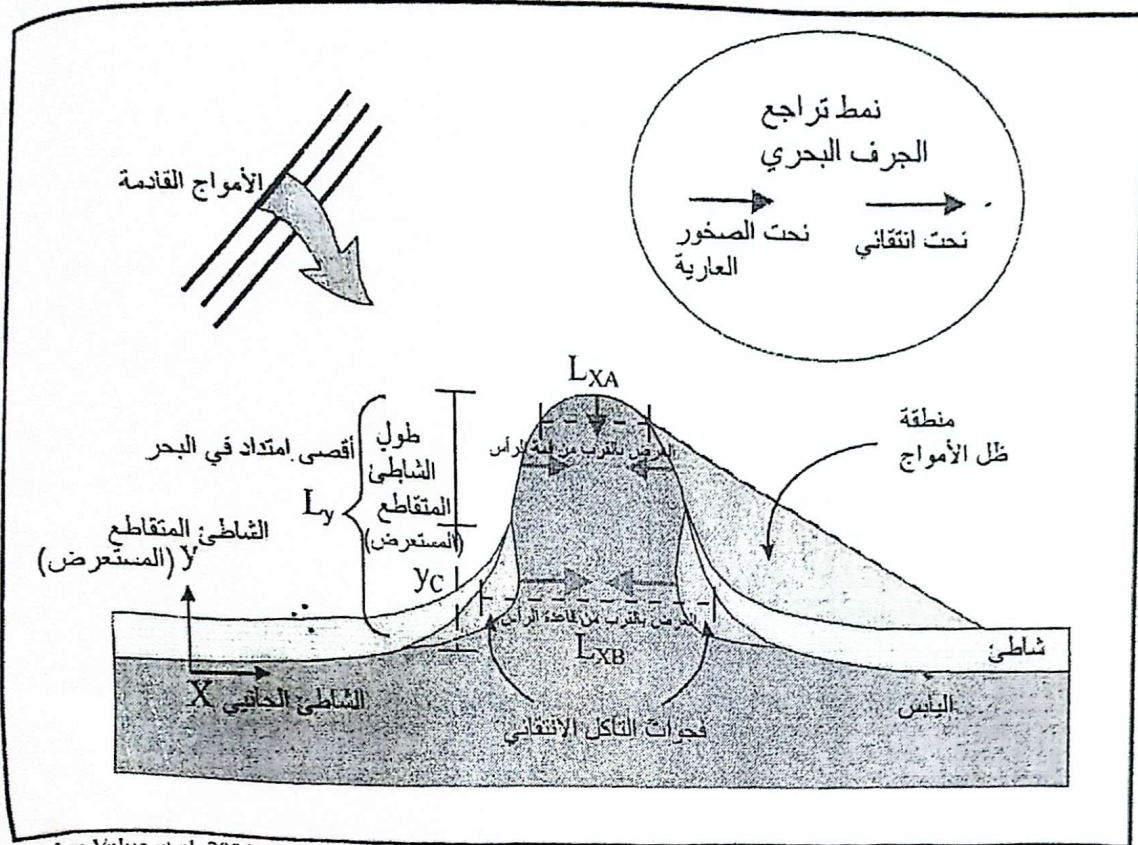
إذا كانت الموجة تقترب بشكل غير مباشر إلى خط الساحل من اتجاه اليسار مثلاً أي من الشاطئ البعيد ويزر الساحل ويتعمق في البحر على شكل الرأس الأرضية الصخرية، ويمكن أن توجد منطقة الظل على الجانب المحمي من الأمواج من الرؤوس الأرضية الذي يمثله الجانب الأيمن (شكل ٢:٢). وفي هذه الحالة يكون نقل الرواسب قليلاً في اتجاه الموجة القادمة في منطقة الظل. لكن الرواسب يمكن أن تدخل منطقة الظل خلال أيام النموذج عندما تقترب الأمواج من الاتجاه المعاكس. وقد يسمح ذلك بتراكم رواسب الشاطئ على طول الجوانب المواجهة للرياح من الرؤوس الأرضية في الجانب المعاكس لاتجاه الرأس المواجه للبحر، وإعطاء الشاطئ شكل تجويف منحني يشبه شكل الصدفة حيث يضيق عرض الشاطئ تدريجياً على طول جوانب الرأس الأرضية.

بالرغم من تراجع جروف الرؤوس إلا أنها تنتج الرواسب الشاطئية التي تتحكم في معدلات تراجع الجرف البحري في المستقبل. حيث يمكن للرواسب الشاطئية أن تدعم أو لا تدعم عملية تأكل الجرف البحري وذلك اعتماداً على عرض الشاطئ حيث تسبب مزيداً من التغييرات في عرض الشاطئ. تعمل الرواسب الشاطئية إما كأدلة بري الجروف أو كغطاء واقٍ يحمي الجروف حيث تتعدد عليه طاقة الأمواج المتحركة من البحر نحو الجرف البحري، وذلك على طول جوانب الرؤوس الأرضية حيث يكون الشاطئ منحني وضيق (Sunamura, 1982). البري يمكن أن

فيزيد من التبعث والتأكل الجانبي للجرف البحري أي على طول وجه الشاطئ مباشرة. ومن خلال عملية النموذج هذه يمكن أن تنفصل الراس الأرضية الصخرية من اليابس الرئيسي وتُصبح مسلات بحرية.

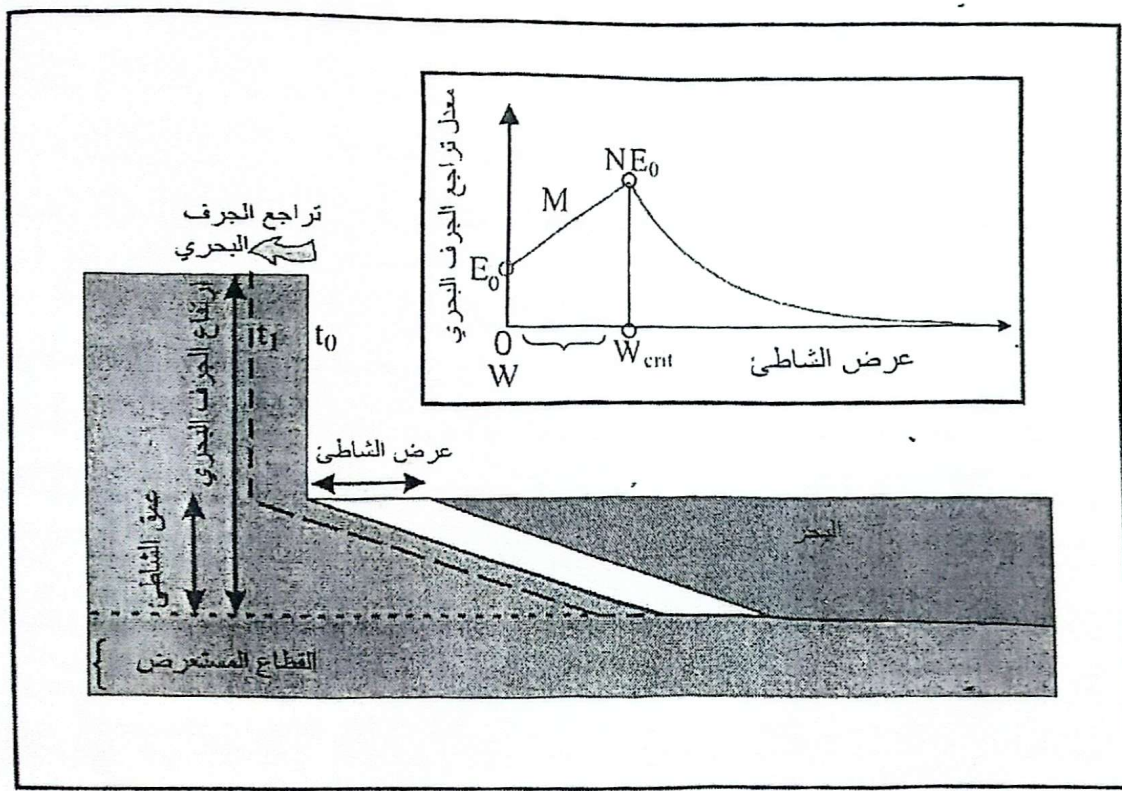
ويوضح (شكل ٢) النموذج التخطيطي لإعداد نموذج تشكيل المسلة البحرية على الرأس الأرضية الصخرية. حيث يرمز لاتجاه الشاطئ الجانبي بالحرف (x)، والحرف (y) يرمز لاتجاه الشاطئ المستعرض أو المتقطع. ويوضح (شكل ٢) أيضاً عدة مقاييس مهمة للطول، وتشمل مقاييس الشاطئ الجانبي مثل اتساع الرأس الأرضية حيث يرمز لعرض الرأس القريب من قمة الرأس (L_{near})، والعرض عند قاعدة الرأس المتصلة باليابس (L_B)، واقصى امتداد للرأس في البحر (L_y) الذي يمثل أقصى طول للرأس الذي يقاس ابتداء من قاعدة الرأس الأرضية المتصلة باليابس أي من منطقة بداية المسلة البحرية حتى قمتها المتمعة في البحر، وتمثل (y_c) طول الشاطئ المستعرض في منطقة بدء المسلة البحرية باتجاه قمة الرأس الأرضية. كما يوضح (شكل ٢) ظل الأمواج وتحديد الاتجاهات والتقديرات النسبية لتراجع الجرف البحري. ظل الموجة يمثل زاوية اقتراب الموجة الواحدة من الجرف البحري؛ وفي أيام النموذج الأخرى فإن اقتراب الأمواج من اتجاهات أخرى يمكن أن تؤثر على نقل الرواسب وتأكل الجرف في منطقة ظل الأمواج.

شكل (٣) عبارة عن المقطع العرضي التخطيطي لطريقة النموذج التي توضح تراجع الجرف البحري وأبعاد الشاطئ. حيث توضح الخريطة الركينية العلاقة غير الخطية بين تراجع الجرف البحري وعرض الشاطئ. القيمة (E₀) عبارة عن معدل تراجع الجرف البحري الذي يتالف من صخر عاري غير مقيد بالرواسب أي تُعبر عن معدل تراجع الوجه الحر من الجرف البحري، والقيمة (N) هي الحد الأقصى لقوة البري، والقيمة (W_{crit}) تمثل عرض الشاطئ الذي يزيد مع تراجع الجرف البحري. ويرجع تراجع الجرف البحري في النموذج الحالي بسبب البري، ويكون بمثابة دالة غير الخطية لعرض الشاطئ. وفيما يلي عرض المعادلات الرياضية الخاصة بالنموذج الحالي لتوضيح العلاقة بين تراجع الجرف البحري وأبعاد الشاطئ:



After: Valvò et al, 2006

شكل (٢) نموذج تشكيل المسلة البحرية على الرأس الأرضية الصخرية



After: Ashton et al, 2001

شكل (٣) نموذج تراجع الجرف البحري

المعادلة (١) :

$$\frac{d\eta_c}{dt} = \begin{cases} E_0 + mw(t), & w(t) \leq w_{crit} \\ NE_0e^{-\frac{w(t) - w_{crit}}{w_{scale}}}, & w(t) > w_{crit} \end{cases}$$

After: Hapke and Reid, 2007

يُمثل الرمز (η_c) موقع الجرف البحري ويُقاس بالأمتار؛ ويُمثل الرمز (E_0) معدل تراجع الجرف البحري ذو الصخور العارية ويُقاس بالمتر/السنة؛ و (w) يُمثل عرض الشاطئ بالأمتار؛ ويُمثل الرمز (w_{crit}) عرض الشاطئ حيث يزيد التآكل من معدل تراجع الجرف البحري ويُقاس بالأمتار؛ و تُعبر (N) عن الحد الأقصى لقوّة التآكل بالنسبة إلى معدل تراجع الجرف البحري ذو الصخور العارية (E_0) حيث يكون الحد الأقصى لقوّة التآكل أكبر من الواحد الصحيح ($N > 1$)؛ وهي كمية لا بُعدية؛ و (w_{scale}) عبارة عن مقياس طول ثابت بالأمتار ويعتمد على الحد الأقصى لقوّة التآكل (N) بالإضافة إلى عرض الشاطئ الذي يوفر غطاء كامل قريب من هجوم الموجة بحيث يُصبح تراجع الجرف البحري صغير جداً يصل إلى ٦٠٪ تقريباً من الحد الأقصى المسموح به. المتغير (M) هو خط الانحدار في (شكل: ٣) الذي ينحصر بين (w) و (w_{crit}) حيث (w) تساوي صفر.

المعادلة (٢) :

$$m = \frac{E_0(N - 1)}{w_{crit}}$$

After: Valvo et al., 2006

المعادلة (١) مشتقة إلى حد كبير من فعل الجرف البحري، ويمكن تقدير معدلات تراجع الجرف البحري ذو الصخور العارية بمنطقة الدراسة

باستخدام معدلات التراجع التاريخية المرصودة من قبل (Hapke and Reid, 2007, p1133) ، وتتراوح قوة البري (N) بين ١٣ و ١٧ على طول سواحل الرؤوس المتوجلة في البحر والمنتشرة بمنطقة الدراسة. ويمكن تعريف المتغير (N) على أنه الحد الأقصى لقوة البري في (المعادلة: ١، و ٢)، ويتميز الغطاء الرسوبي بتقطشه على طول جانبي الرأس الأرضية بسبب تقلب نطاق الموجة، وبالتالي التآكل يكون أيضاً على فترات متقطعة، كما أن قوة البري لا تعمل بصفة مستمرة عند أعلى مستوى لها ولكن متوسط الوقت تكون قوة البري أقل قوة. لأن قوة البري (N) من الصعب كبحها (Limber and Murray, 2011, p 1150). ويُستخدم في محاكاة النموذج مجموعة من القيم تتراوح ما بين ٢ و ١٠.

يُمثل المتغير (W_{crit}) عرض الشاطئ ومن الصعب كبحه أيضاً. تم اختبار القيم بين ١٠ و ٤٠ متر في نماذج المحاكاة، وكان هناك فارق صغير في النتائج: حيث تشكلت المسلاط البحريّة في كل مرة، وكانت مساحة المسلاط البحريّة النهائية منخفضة بالنسبة إلى قيمة عرض الشاطئ (W_{crit}). القيمة الأكبر من عرض الشاطئ (W_{crit}) تعني أن هناك المزيد من قيم عرض الشاطئ التي تُعزز من معدلات تراجع الجرف البحري أعلى من معدل تراجع الصخور العارية (E0)، ومعدلات تراجع الجرف البحري تكون أقل عشوائية بالنسبة لعرض الشاطئ الناجمة عن تحرك الرواسب ذهاباً وإياباً في الخلجان المجاورة للرؤوس. ومع مرور الوقت يحدث تآكل أكثر تطابقاً والمسلاط البحريّة الناتجة تكون أكبر حجماً نتيجة لذلك. التغيير في حجم المسلاط البحريّ مع عرض الشاطئ (W_{crit}) يكون أصغر من تلك التي يتسببها تعديل الحد الأقصى لقوة التآكل (N).

وبصفة عامة فإن تشكيل المسلاط البحريّ يكون مستقل إلى حد كبير عن القيمة المحددة لعرض الشاطئ (W_{crit}): طالما يوجد حد أقصى لمعدل تراجع الجرف البحري بالنسبة لعرض الشاطئ ويكون أعلى من الصفر، وحينئذ يمكن تشكيل وتكوين المسلاط البحريّة. وعندما يتساوى ارتفاع الشاطئ تقريرياً في معدل الوقت مع منسوب المياه في الشاطئ القريب فإن

التآكل يزيد للحد الأقصى من معدل تراجع الجر البحري (Sunamura, 1982, p341) و يصل البري إلى أقصى حد من الفعالية عند أكبر الارتفاعات القريبة من مستوى مياه المد العالى (Blanco-Chao et al., 2007, p138). معرفة الارتفاع التقريري حيث يزيد البري من معدلات التآكل، والمتغير عرض الشاطئ (w_{crit}) يمكن أن يكون متقارب جداً باستخدام متوسط انحدار الشاطئ، والشكل، والعمق (شكل: ٣).

يتضح من خلال الملاحظات الميدانية بمنطقة الدراسة أن عرض الشاطئ الذي يوفر حماية شبه كاملة للجروف البحري من هجوم الأمواج تتراوح قيمه بين ٧٠ و ١٠٠ متر. وقد تم استخدام عرض الشاطئ في النموذج المقترن في الدراسة الحالية كمقاييس لتحديد التفاعلات بين الشواطئ والجروف البحري لتتحديد العلاقة بين عرض الشاطئ وتراجع الجرف البحري بمنطقة الدراسة. ويتم التعبير رقمياً عن التغير في موقع خط الساحل الرملي (nb) عبر مرور الزمن من خلال المعادلة (٣) التالية:

$$\frac{dn_b}{dt} = (HC - 1) \left| \frac{dn_c}{dt} \right| - S - \left(\frac{1}{D} \frac{\partial Q_s}{\partial x} \right)$$

After: Limber et al, 2014, p867

حيث (H) يمثل ارتفاع الجرف البحري مقسوماً على العمق الذي يمدد الشاطئ. و (C) نسبة رواسب الجرف البحري الذي يتكون من الرواسب الخشنة بما يكفي للمساهمة في عرض الشاطئ؛ ويُشير (QS) إلى نقل الرواسب على طول الشاطئ الجانبي وتحسب بالمتر^٢ / السنة؛ ويعبر (X) عن موقع الشاطئ الجانبي بالأمتار؛ ويمثل (S) معدل فقدان رواسب الشاطئ وتحسب بالمتر^٢ / السنة؛ ويمثل (nb) موقع الشاطئ بالأمتار.

يتضح من شكل (٣) أنه بالرغم من تغيرات موقع خط الساحل الرملي إلا أن رواسب الشاطئ تنتشر بالتساوي فوق كل قطاع الشاطئ بأكمله. وتتميز حركة رواسب الشاطئ بأنها سلبية باتجاه اليابس، بينما تكون حركة الرواسب إيجابية باتجاه البحر. القسم الأول من المعادلة على

الجانب الأيمن يمثل كمية الرواسب الداخلة إلى نظام خط الساحل كنتيجة لتراجع الجروف البحرية. الجروف البحرية الأطول والأكثر وفرة في الرمال هي التي سوف تُنتج المزيد من الرواسب الشاطئية في وحدة طول تراجع الجرف البحري. يمكن اعتبار المتغير (H) والمتغير (C) الاثنين معاً بمثابة ارتفاع الجرف البحري الفعال غير البعدي. القسم الثاني من المعادلة (S) عبارة عن ثابت يمثل معدل فقدان الرواسب الشاطئية، ويمكن تفسير ذلك على أنها عبارة عن منطقة الأمواج، واحتلال وتآكل الرواسب بفعل عمليات البري والتآكل، وفقدان الرواسب من اليابس وتحركها ونقلها من الشاطئ أثناء مرحلة ارتفاع مستوى سطح البحر، أو بسبب التدخل البشري (Wolinsky and Murray, 2009, p347). القسم الثالث من المعادلة يمثل التغيير في موقع الشاطئ (Q_s). الذي يرجع إلى التدرج في نقل الرواسب على طول الشاطئ الجانبي. ويُعرف مصطلح التغيير في موقع الشاطئ (Q_s) بأنه معادلة نقل الرواسب المشتركة (Valvo et al., 2006).

يُعد حجم نقل الرواسب وظيفة مهمة جداً لزاوية الموجة القادمة بالنسبة إلى اتجاه خط الساحل، وتميل إلى الزيادة عند زيادة ارتفاع الأمواج وزيادة فترة قدوم الأمواج. الآثار التراكمية لنطاق الموجة يمكن اعتباره ظروف الموجة في متوسط الفترة الزمنية التي لديها خاصية الانتشارية وموجة عدم التماثل. ويمكن تعريف خاصية الانتشارية Diffusivity على أنها عبارة عن قدرة الأمواج على صقل موقع الشاطئ الذي يختلف مع زاوية الموجة القادمة، وعدم التماثل asymmetry يقصد به نسبة تأثيرات الموجة على عملية نقل الرواسب على طول الشاطئ الجانبي والقادمة من الجهتين اليمنى واليسرى (Ashton and Murray, 2006a).

فعندما تقترب الأمواج من خطوط الأعمق الموازية للشاطئ بزاوية تقل عن ٤٥ درجة تقربياً فإن ذلك سوف يؤدي إلى قيام الانتشارية بচقل وإزالة النتوءات البارزة من موقع خط الشاطئ. وعندما تقترب الأمواج من

خط الشاطئ بزاوية أكبر من ٤٥ درجة فإن خط الشاطئ يصبح غير مستقر ويُمكن أن تنمو وتطور البروزات الموجودة بخط الشاطئ إلى رؤوس أو ألسنة (Ashton et al., 2001, p296). ويُمكن اعتبار الزاوية المنخفضة فقط الأقل من ٤٥ درجة هي بمثابة بيئات موجة الانتشار ولكنها نوع غير متماثل، وعندما تكون ظروف الموجة غير متماثلة فإن قيمة (A) تساوي صفر أو واحد صحيح، وتتحرك كل الأمواج من اليمين إلى اليسار أو من اليسار إلى اليمين وتكون على طول خط الساحل. وعندما تكون ظروف الموجة متماثلة حينئذ تكون قيمة (A) تساوي ٠٠.٥، وعندما يكون التأثير متساوي على طول الشاطئ الجانبي فإن نقل الرواسب يأتي من اليمين واليسار.

المعادلة (٢) منفصلة فوق نطاق النموذج الخلوي. كل خلية نموذج تمثل ٦٠ م، وتم وضع الصخور والرمال كنسبة من حجم الخلية. يمكن أن يكون نصف الخلية للصخور والنصف الآخر للرمال. معرفة أبعاد الجرف البحري والشاطئ هذا يمكن أن يفسر على أنه موقع الشاطئ والجرف البحري.

تشكل المسلة البحرية في النموذج الحالي عندما تصبح خلايا الصخرة منفصلة من اليابس الرئيسي بواسطة صف من الخلايا التي تكون فارغة تماماً من الصخور. وقبل تشكل المسلة البحرية فقط فإن المسلة البحرية برؤوس الغردة، وأبو منقار، والضبعة يمكن في بعض الأحيان أن تنفصل من اليابس الرئيسي عن طريق صف من الخلايا التي تكون كاملة جزئياً من الصخور، وهذا الصف يمكن فقط أن يصل إلى خلتين طولتين في اتجاه الشاطئ الجانبي. وبسبب الطريقة التي يعمل بها النموذج الحالي فإنه يسمح للرواسب بالمرور عبر هذا الممر الواقع بين المسلطات واليابس الرئيسي. لذلك يمكن أن يفسر الممر على أنه قوس بحري أو قوس منهاه تاركاً خلفه طريقاً يمكن أن يطلق عليه ممر النقل حيث تنفذ من خلاله المياه المحمولة بالرواسب (صور: ٧، ٨، و ٩).

الظروف والشروط الأولية لنماذج المحاكاة الموضحة في الدراسة الحالية:

تشمل خط ساحل خالي من الرؤوس مع اثنين من الرؤوس الصخرية البارزة في البحر. شكل الرؤوس تتراوح من الشكل القريب من المربع ولهذا السبب فإن (B) تساوي تقرباً (A) تساوي تقرباً (C) (شكل ٢:١) إلى نسب الجوانب المرتفعة حيث (B) أصغر من (A).

وتشمل مسارات النموذج مجموعة من جروف الشاطئ الجانبي الأولى واختلافات قوة الصخور، وبما في ذلك تداخلات خط الساحل (الخلجان) التي تقطع المشهد الطبوغرافي المتغير التي تشكلت عن طريق ارتفاع مستوى سطح البحر؛ والرؤوس التي تتكون من الصخور الأكثر مقاومة للتأكل تكون قريبة إلى الخلجان المجاورة (Limber and Murray, 2014)؛ وخط الساحل البسيط يكون موحد ومنتظم من حيث ارتفاع الجرف البحري ونوع الصخور. شكل خط الساحل الأولى تأثيره ضعيف جداً على الديناميكيات المُساهمة في تشكيل المسلاط البحرية، ولكن في كل مراحل النموذج الحالي فإن التأكل الانتقائي في جوانب الرأس الأرضية ضروري ومهم جداً لتشكيل المسلاط البحرية الذي يتم ويدعم بواسطة عملية البري فقط ولهذا السبب يمكن تقييم فعالية البري في تشكيل المسلاط البحرية بشكل مستقل عن تآكل الرأس الانتقائي الناجم عن ضعف الصخور المحلية أو غيرها من آليات التشكيل.

خامساً: تشكيل المسلاط البحرية من نموذج المحاكاة الرقمي:

يوضح شكل (٤) السلسلة الزمنية لمسارات نموذج المحاكاة الرقمي. حيث تتكون السلسلة الزمنية من ثلاثة نماذج محاكاة رقمية وتم تسميتها (A, B, C). وتشير المناطق المخططة على الرؤوس إلى الارتفاعات الطبوغرافية. يظهر في نموذج المحاكاة (A) تشكيل المسلاط البحرية من الرؤوس الأولية حيث تكون الخصائص الصخرية ثابتة على طول الشاطئ الجانبي. في نموذج المحاكاة (B) الخصائص الصخرية للرأس الأرضية تكون أكثر مقاومة للنحت والتأكل من تلك الصخور المحيطة

بالخلجان. ويزداد امتداد قمة الرأس الأرضية باتجاه البحر أثناء تشكيل المسلطات البحرية، لذا فإن المسلطات البحرية الناتجة تكون أكبر. في نموذج المحاكاة (C) تكون الخصائص الصخرية ثابتة على طول الشاطئ الجنوبي كما في نموذج المحاكاة (A)، ولكن يزداد إنتاج الرواسب الشاطئية بينما تقل قوة البري والتآكل. ففي هذه الحالة لا تتشكل المسلطة البحرية لأن الشاطئ يعمل بدرجة أكبر على أنه غطاء واقٍ يحمي الرؤوس من التآكل وليس مصدراً لأدوات البري. حيث إن نوع الصخور هو عنصر التحكم الأول في تشكيل المسلطة البحرية ويوضح ذلك في (شكل: ٤)، ونموذج المحاكاة (C).

تبعد ارتفاعات الجرف البحري الواقع تحت تأثير فعل الرياح في الخليجان والرؤوس . و ٣٠ م على التوالي، ولهذا السبب فإن الرؤوس تكون نتيجة الارتفاعات الطبوغرافية على الرغم من أن الاختلافات في ارتفاع الجرف البحري على طول الشاطئ الجنوبي ليست مطلوبة لإنتاج الرؤوس أو لإنشاء المسلطات البحرية في النموذج الحالي كما سيتضح لاحقاً. وقيم المتغيرات الرئيسية هي: ($E_0 = 0.2$ متر/السنة)، ($S = 0.5$ متر/السنة)، ($w_{crit} = 0.5$ متر)، ($A = 0.5$)، ($C = 0.5$)

بدءً من نموذج المحاكاة (A)، وحسب مسارات النموذج فإن الجروف البحرية تتآكل ويتم نحتها وتنتج الرواسب الشاطئية التي تترافق في الخليجان على شكل تجويفات من الشواطئ. تغير نطاق الموجة يدفع الرواسب جيئة وذهاباً في الخليجان، وظل الموجة يكون في الجانب المحمي من الرؤوس الأرضية حيث يُسبب طبقة متقطعة من الرواسب التي تترافق على جوانب الرأس. يتحكم البري في التآكل الانتقائي للجرف البحري ويبدأ البري في نحت فجوات في جوانب الرأس، ويزداد التآكل في الجرف البحري ذو الصخر العاري من الرواسب ويحدث النحت في الرأس في الشاطئ المواجهة للبحر. وفي النهاية تلتزم مناطق التآكل الانتقائي الجانبية على كلا جانبي الرأس الأرضية مع مرور نقل الرواسب المستمر، ويتم تشكيل المسلطة البحرية على مدار ٥٧٣ سنة تقريباً.

في نموذج المحاكاة (B)، الظروف الأولية وقيم العامل المتغير هي نفسها كما في نموذج المحاكاة (A) إلا أن الصخور التي يتكون منها الرأس ($E_0 = 0.2$ متر/السنة) تكون أكثر مقاومة للتآكل من الصخور التي تتكون منها الخلجان ($E_0 = 0.4$ متر/السنة). الاختلافات في قوة وصلابة الصخور على طول الشواطئ الجانبية يكون تأثيرها ضعيف في تشكيل المسلاة البحريه إلا أنها تُنتج مسلة بحرية أكبر حجماً، وذلك لأن الخليج ينقل مزيد من الرواسب باتجاه اليابس على طول الرأس بالمقارنة بنموذج المحاكاة (A)، وينمو ويزيد اتساع الشاطئ المستعرض للخلجان أي تزداد نسبة جاذب الرأس الأرضية قبل تشكيل المسلاة البحريه. يوضح نموذج المحاكاة (C) عملية زوال وتلاشي الرأس أيضاً وهو نفس نموذج المحاكاة (A) إلا أنه يتميز بزيادة إمدادات الرواسب ($C = 1.00$ و $S = 0.1$ متر/السنة) وينخفض الحد الأقصى لقوة البري (N) حيث يبلغ ($N = 2$). وبنهاية مسار النموذج تتلاشي الرؤوس بدون أن تنقسم إلى مسلات بحرية.

إذا كانت إمدادات رواسب الشاطئ مرتفعة جداً مثلاً تكون الجروف عالية أو وفيرة الرمال فإن الخلجان الجانبية تمتلئ بالرواسب الشاطئية ويحصل تجويف الشاطئ المتسع كخطاء واقي يمنع تآكل الخلجان والجرف البحري للخلجان. معدلات التراجع أسرع نسبياً على الرؤوس ذات الصخور العارية من الرواسب مما يتسبب في تقلص حجم الرؤوس وتلاشيهما في النهاية. وتمكن تشكيل المسلاة البحريه، وتتفاهم هذه العملية من زوال وتلاشي الرأس أيضاً عن طريق أضعف تآكل انتقائي.

- العلاقة بين تشكيل المسلاة البحريه وإمدادات الشاطئ بالرواسب:

يوضح الشكل (٥) العلاقة بين تشكيل المسلاة البحريه وإمدادات الشاطئ بالرواسب. مسارات النموذج الأحد عشر مع ارتفاع الجرف البحري الثابت على طول الشاطئ الجانبي وظهور في العلاقة فعالية أبعاد ارتفاع الجرف البحري. ويزداد ارتفاع الجرف البحري (HC) تدريجياً من الصفر. المتغيرات الرئيسية الأخرى هي: ($N = 4$); ($E_0 = 0.2$ متر/السنة)، ($w_{crit} = 20$ متر). ($S = 0.5$ متر/السنة). كما توضح نتائج النموذج

الرقمي (شكل: ٥) العلاقة بين ارتفاع الجرف البحري (HC) والمسافة الشاطئية للمسلة البحرية (y_C) وتقاس من بداية الرأس الأرضية التي تُعد بمثابة منطقة بداية المسنة البحرية باتجاه البحر حتى موقع المسنة البحرية، ومساحة المسنة البحرية. القيم الأعلى من ارتفاع الجرف البحري (HC) تُسبب زيادة إنتاج رواسب الشاطئ، والتي تؤدي إلى تحريك ونقل منطقة البري والتآكل حيث تدفع البري والتآكل الانقائي في اتجاه البحر على طول الرأس. حيث يؤدي تحول عملية البري نحو البحر إلى تقليل مساحة المسنة البحرية.

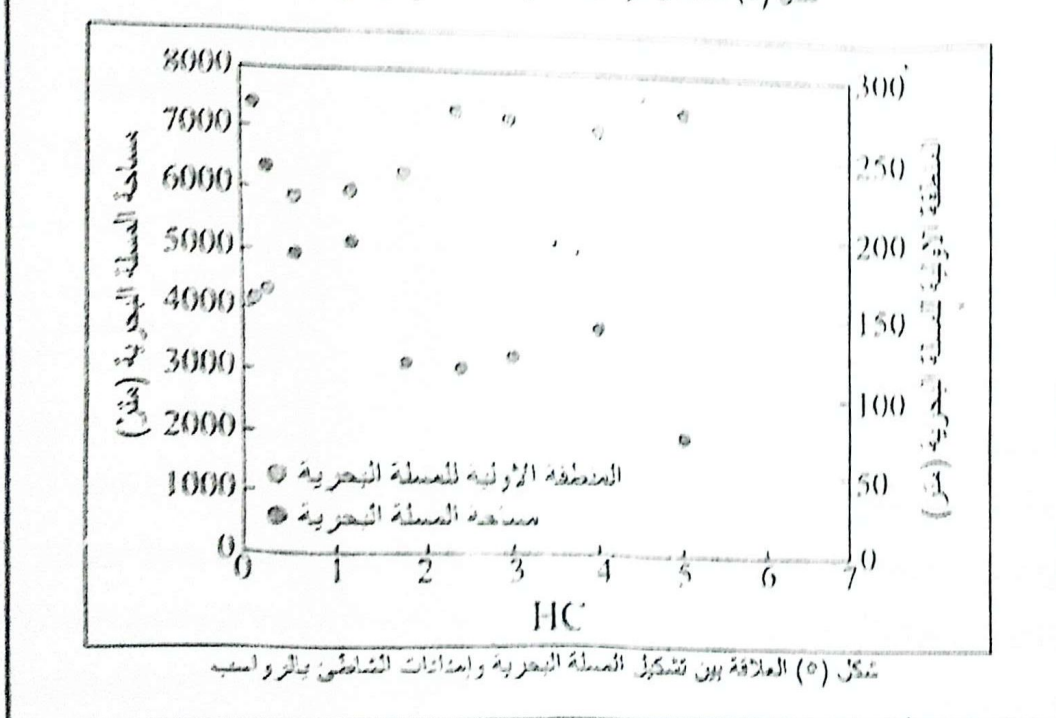
تؤدي الزيادة في ارتفاع الجرف البحري (HC) إلى زيادة إمدادات الشاطئ بالرواسب، وكما يزداد ارتفاع الجرف البحري (HC) فإن متوسط عرض الشاطئ يزداد أيضاً وتتحرك منطقة التآكل الانقائية، وبالتالي تتحرك منطقة بدء المسنة البحرية حيث تزداد في اتجاه البحر من قاعدة الرأس وتوضحه النقاط الزرقاء في (شكل: ٥). إذا تشكلت المسنة البحرية فإنها تضم نسبة قليلة من مساحتي الرأس والمسنة البحرية الأولية وبناء على ذلك فإن ارتفاع الجرف البحري ينخفض مع زيادة إمداد الرواسب وتوضحه النقاط البنفسجية.

لا تتشكل المسنة البحرية وتكون مساحة المسنة البحرية تساوي (صفر) عندما يكون ارتفاع الجرف البحري (HC) كبير جداً، وفي هذه الحالة تبلغ قيمة ارتفاع الجرف البحري (٥.٧) بسبب فعل الرواسب حيث تكون الرواسب بمثابة غطاء واقٍ بدلاً من أن تكون أدلة بري. ولا تتشكل المسنة البحرية أيضاً عندما يكون ارتفاع الجرف البحري (HC) يساوي (صفر) بسبب عدم وجود الرواسب التي تُستخدم في عمليات البري. هذا فيما يتعلق بالنموذج على الرغم من أن في الطبيعة يمكن للمسنة البحرية أن تظل تُشكل بدون الرواسب والبرى أو تتشكل في نطاق الرواسب الوفيرة وذلك في حالة إذا كان هناك انقطاعات جيولوجية في الصخور.

يشير شكل (٥) إلى وجود علاقة عكسية بين إمداد رواسب الشاطئ وكثرة وجود المسالات البحرية بمعنى كلما زادت رواسب الشاطئ في السواحل الصخرية قل وجود المسالات البحرية بها. ويتم تزويد



بيان (٤) المدخل الرسمى لمصر فى المعرض العالمى



شكل (٥) العلاقة بين تشكيل المصلحة البحرية وإمدادات الشاطئي بالفراء وأسباب

ساحل منطقة الدراسة بالكثير من الرواسب الشاطئية سطويًا من خلال تصريف الأودية التي تصب في الساحل عقب سقوط الأمطار الغزيرة

وحدث التسليول الجارفة بالإضافة إلى الرواسب الناتجة من تآكل الجروف البحريّة لذا يمكن القول باحتمالية وجود علاقة تربط كثرة وجود المسلاط البحريّة على نطاق واسع بشكل الساحل.

- تأثيرات عرض الرأس الأولى وقوّة البري وظروف الموجة غير المتماثلة على تشكيل المسلاط البحريّة:

تتضخّن نتائج مسارات النموذج — ٣٢ الإضافية في (شكل:٦) باستثناء قوّة التآكل (N) وظروف الموجة غير المتماثلة (A) التي تكون متنوعة ومختلفة، وقيم المتغيرات الطبيعية الأساسية هي نفسها كما في (شكل:٥) حيث ($3 = H$ و $C = 0.2$). وتشير الخطوط المتصلة إلى وجود ظروف الموجة المتماثلة وتشير الخطوط المتقطعة إلى وجود ظروف الموجة غير المتماثلة.

يوضح الشكل (٦) تأثيرات عرض الرأس الأولى (X_B)، وقوّة البري (N)، وظروف الموجة غير المتماثلة (A) على مدار المقياس الزمني لتشكيل المسلاط البحريّة. بالنسبة للموجة غير المتماثلة حوالي ٠٠٥ المقياس الزمني يكون خاص بعرض الرأس ٢٤٠ متر وتمثله الدوائر في (شكل:٦) وتكون أكبر من عرض الرأس الذي يبلغ ١٨٠ متر والذي يتمثل في المربعات لأن هناك تآكل انتقائي أكبر يشق طريقه على طول الشاطئ الجانبي. الحد الأقصى لقوّة التآكل (N) يزيد من معدل التراجع الجنوبي للجرف البحري، وذلك يزيد من قوّة البري ويقلّل من المقياس الزمني. عندما تبلغ ظروف الموجة غير المتماثلة (٠٠١)، وهذا يعني أن ٩٠٪ من تأثير الموجة يقترب من الساحل من الجهة اليمني و ١٠٪ تقترب من الجهة اليسرى، وكانت النتائج مختلفة جدًا. وبصفة عامة يستغرق تشكيل المسلاط البحريّة وقتًا أطول إذا كان يتم تشكيلها بصورة كاملة. وهناك نقطة البيانات تقع عند الصفر على المحور الصادي في (شكل:٦) وتعني أن المسلاط البحريّة لم يتم تشكيلها.

المساحة النهائية للمسلة البحرية تحت ظروف الموجة المتماثلة وغير المتماثلة:

يوضح الشكل (٦ ب) تأثيرات الحد الأقصى لقوة البري (N) وحجم الرأس الأولي على المساحة النهائية للمسلة البحرية تحت ظروف الموجة المتماثلة وغير المتماثلة. بالنسبة لظروف الموجة المتماثلة، كلما ازدادت شدة وقوة البري ازداد حجم الرأس الأولي وازداد حجم المسلة البحرية. يزداد الحجم مع قوة البري لأن ارتفاع معدلات التآكل الانتقائي تقلل من الفترة الزمنية لتشكيل المسلة البحرية. يؤدي الوقت الأسرع إلى تشكيل المسلة البحرية بينما يؤدي الوقت الأقل إلى تراجع الجرف البحري ذو الصخور العارية مما يؤدي إلى تقليل حجم الرأس الأرضية والمسلة البحرية. ومع ذلك، فإنه عندما تكون ظروف الموجة غير المتناظرة وتبعد قيمة ($A = 0.1$) فتكون المسلاة البحرية أصغر حجماً ولا تختلف أحجامها بشكل واضح مع الحد الأقصى لقوة البري (N). وكذلك الحال بالنسبة لحجم الرأس أيضاً ولنفس الأسباب التي تم ذكرها سابقاً. تشير هذه النتائج بصفة عامة إلى أن عملية البري ليست مصدراً فعالاً للتآكل الانتقائي للرأس في ظل ظروف الموجة غير المتماثلة.

تطور المسلة البحرية في ظل ظروف الموجة غير المتماثلة:

يوضح (شكل: ٧) السلسلة الزمنية لمسارات النموذج الرقمي مع ظروف الموجة غير المتماثلة بشكل كبير حيث قيمة ($A = 0.1$). يتضح أن اتجاد صافي نقل الرواسب إلى اليسار. تحولت منطقة البري في ظل ظروف الموجة غير المتماثلة حيث تُحفر على التآكل الانتقائي والبرى في اتجاه البحر بواسطة طول المسافة الشاطئية للمسلة البحرية (y_C), بحيث تُصبح المسلة البحرية في النهاية أصغر حجماً من الحجم الذي سوف تكون عليه في ظل ظروف الموجة المتماثلة. ويتبين أيضاً السلسلة الزمنية من تطور المسلة البحرية في ظل ظروف الموجة غير المتماثلة. حيث يستغرق تشكيل المسلة البحرية بفعل البري وقتاً أطول في ظل ظروف الموجة غير المتماثلة ويرجع ذلك إلى أن رواسب الشاطئ

تتراكم على طول الجانب الأيمن من الرأس ونادراً ما تتراءكم على الجانب الأيسر من الرأس الذي يكون خلف الانجراف مما تسبب في مناطق تحرك البري والتأكل الجانبي للجرف البحري على كل جانب من جنبي الرأس على أن تنتهي الرأس أكثر على الجانب الأيمن باتجاه البحر، ويكون هناك مزيد من اليابس على اليسار.

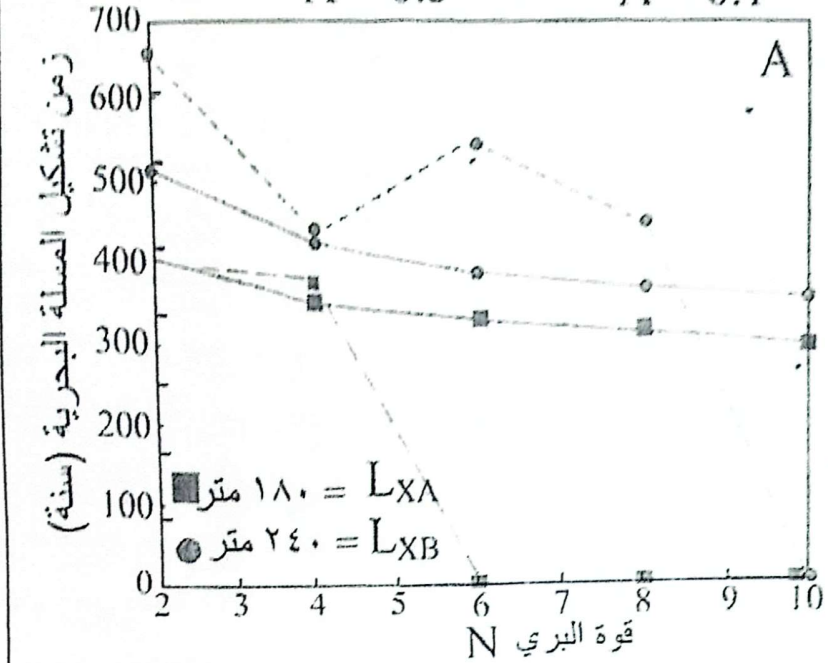
تقع مناطق البري في نفس الموقع على جنبي الرأس الأرضية في ظل ظروف الموجة المتماثلة، ويمكن أن تعمل جنباً إلى جنب للقيام بالتصويض السُّفلي في قاعدة الرأس الأرضية. في الحالات التي لا تتشكل فيها المسلطات البحرية ويكون ذلك بسبب اصطدام الرواسب بالرأس الأرضية في الجانب المواجهة لحركة الانجراف من الرأس؛ لذا تتعرض الرأس للتفت ويتناقص حجمها بسرعة. ويحدث هذا في كثير من الأحيان بالنسبة لقيم قوة التأكل المرتفعة (N) ويرجع السبب في ذلك إلى ما يلي:

- ١- تكتسح الموجة غير المتماثلة باستمرار رواسب الشاطئ إلى الجانب الأيسر من الخليجان الجانبيين، وترك طبقة رقيقة من الرواسب على الجانب الأيمن للخليج (شكل: ٧).
- ٢- تشتراك القشرة الرقيقة من الرواسب على الجانب الأيمن مع القيمة الكبيرة من قوة البري (N) مما يسبب في إنتاج الرواسب بسرعة التي تم اكتتساحها إلى اليسار حتى ينمو الشاطئ باتجاه البحر بعيداً بما يكفي لتجاوز الرأس الأرضية. بالنسبة لكل عرض الرأس، والمقياس الزمني لظروف الموجة غير المتماثلة يكون غير منتظم أيضاً بدرجة أكبر من ظروف الموجة المتماثلة.

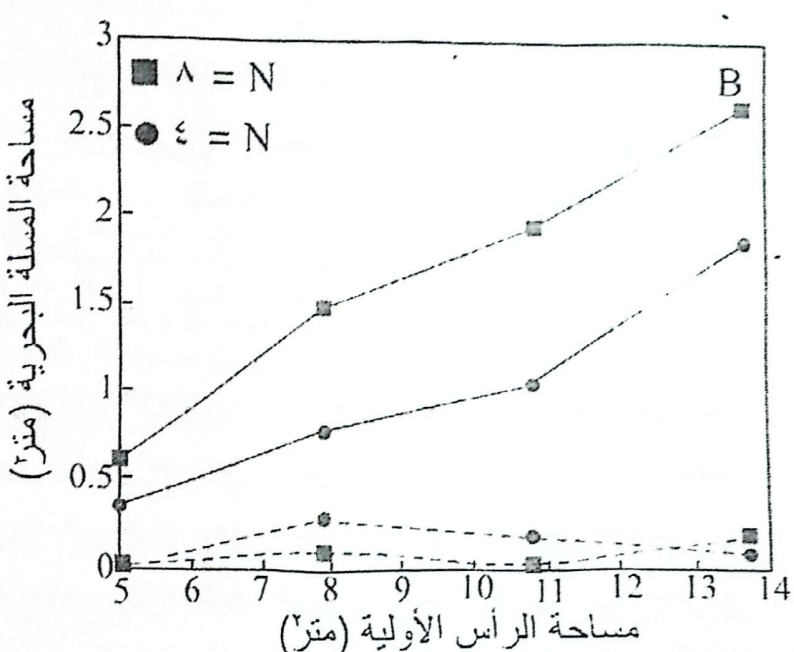
تنطبق العديد من الأفكار التي قدمها النموذج الرقمي في الدراسة الحالية بشكل أفضل على السواحل الغنية بالرواسب الشاطئية كما في ساحل منطقة الدراسة. حيث يُعد البري عامل التأكل الفعال. ويمكن تعميم النتائج والأسانيد التحليلية التي تم استخلاصها من النموذج الحالي في السواحل الصخرية التي تتميز بقلة توفر الرواسب الشاطئية. حيث ينشط ويهيمن التأكل بفعل قوة الضغط الهيدروليكي للأمواج.

السوجة غير المتداة

$$\text{--- } \Lambda = 0.5 \quad \text{--- } \Lambda = 0.1$$



شكل (٦) - حجم الموجة المختلطة للحد الأقصى لقوه البري وعرض الرأس



شكل (٧) - سطح حجم الموجة البحرية بالنسبة لقيم المختلطة للحد الأقصى لقوه البري ومساحة الرأس الأرضية

سادساً: تشكيل المسلطات البحرية بواسطة المعادلات الرياضية:

من خلال النظر في المنافسة بين معدلات واتجاهات تأكل الجرف البحري المختلفة التي تتم على الرأس الأرضية وأبعادها الأولية والموضحة في (شكل: ٢) يمكن التوصل إلى ما يأتي:

يرمز لتأكل الرأس الانتقائي بحرف (N)، ويمكن إعادة تسميتها بقوة التأكل الانتقائية العامة التي يمكن أن تسببها العديد من العوامل وتشمل البري، والتحجير الموجي على طول الشقوق والفاصل في الصخور المحلية (Trenhaile et al., 1998, p618)، أو يمكن تسميتها باسم التأثيرات الهيدروليكيه أو التأثيرات البحرية مثل تركيز طاقة الأمواج (Emery and Kuhn, 1982, p652).

يتضح من الجدول الزمني التحليلي وحجم المسلة البحرية في شكل (٦ أ و ٦ ب) أن تراجع الجرف البحري الانتقائي على وجه الشاطئ الجانبي يحدث عند معدل متوسط الفترة الزمنية على كلا الجانبين من الرأس الأرضية، والزمن (t_0) الذي يستغرقه التأكل الانتقائي للشق عبر عرض الشاطئ الجانبي للرأس الأرضية يرمز له (L_{xB}) (شكل: ٢) ويمكن التعبير عنه بالمعادلة (٤) التالية:

$$t_0 = L_{xB} / 2 N_g \times E_0$$

After: Patrick W. Limber and A. Brad Murray, 2015

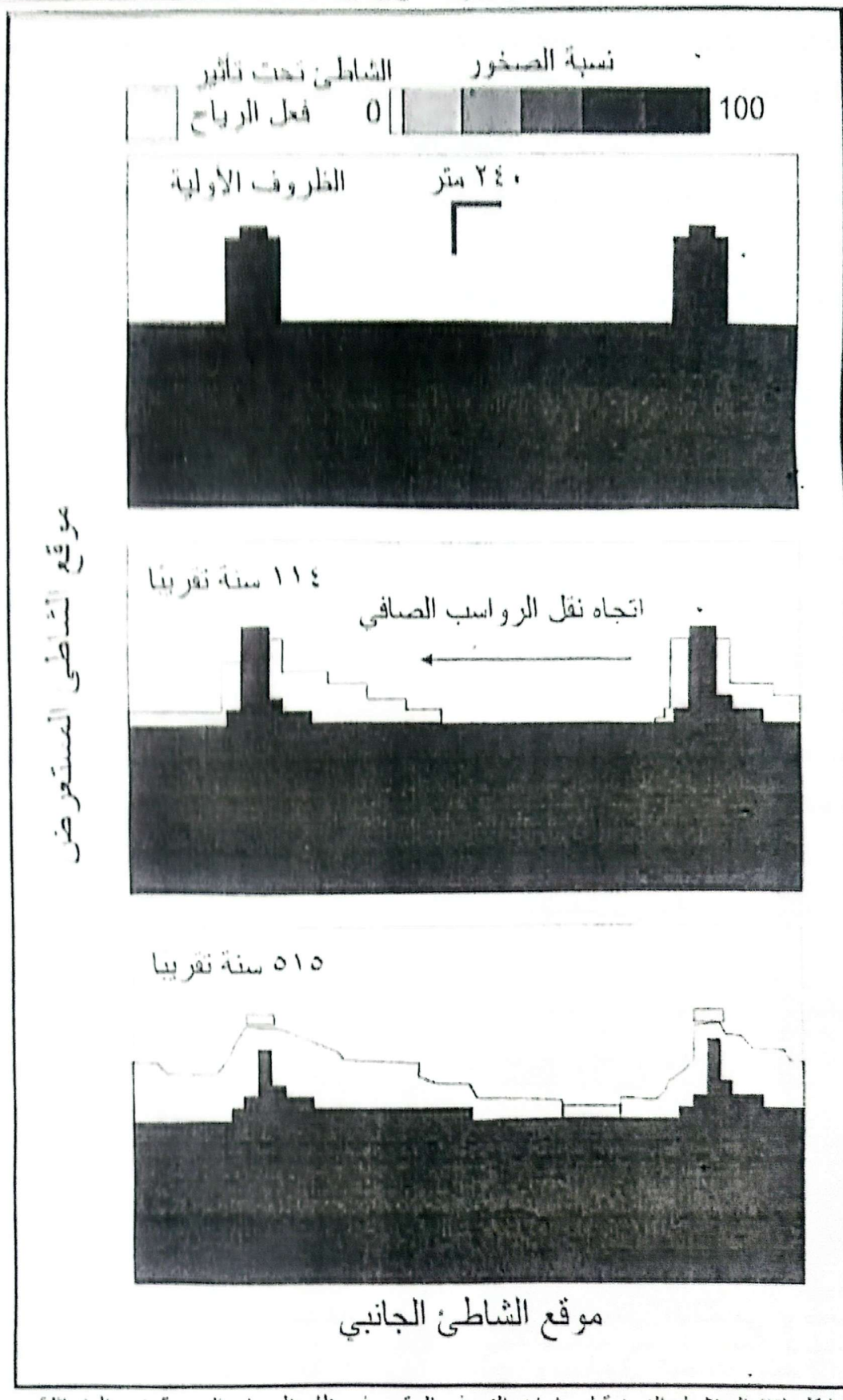
حيث تمثل (N_g) متوسط الزمن بالنسبة لقوة التأكل الانتقائية. ففي (شكل: ٦ أ) يبلغ زمن التشكيل بالنسبة للمسلة البحرية ابتداء من عرض الرأس الأرضية الأولى ٢٤٠ متر عندما تبلغ قيمة الحد الأقصى لقوة البري ($N = ٦$) في حوالي ٣٩٠ سنة. ويرجع ذلك إلى تقطع الغطاء الرسوبي على طول جانبي الرأس بسبب تغير نطاق الموجة، والبرى يكون متقطعاً



أيضاً ولا يستمر في النحت بأقصى قوته التي تبلغ نحو (6). وبدلاً من ذلك، هناك معدل متوسط لمعدل التآكل الانتقائي ويشمل المعدلات الناتجة عن التآكل السريع والبطيء في الصخور العارية من الرواسب.

ومن خلال تطبيق المعادلة (٤) يتضح أن متوسط الزمن بالنسبة لقوة التآكل الانتقائية $N_g = 1,55$ ؛ لذا يمكن توقع تشكيل المسلطات البحرية بشكل أسرع عندما يكون متوسط معدل التآكل الانتقائي مرتفع أو عندما يكون عرض الرأس على طول الشاطئ الجانبي صغير. ويتحقق هذا مع نتائج النموذج الرقمي في (شكل: ٦ أ و ب).

يمكن تقدير عرض الشاطئ المستعرض، وتقدير عرض المسلة البحرية عن طريق معرفة جدول الزمن التقريري وأبعاد الرأس الأولية. حيث ينتج عرض المسلة البحرية على طول الشاطئ من خلال المنافسة بين التآكل الجانبي للصخور العارية في قمة الرأس والترابع الجانبي الانتقائي للجرف البحري عند أقصى نقطة باتجاه اليابس على طول الرأس، أو في قاعدة الرأس الأرضية (شكل: ٢).



شكل (٧) السلسل الزمنية لمسارات النموذج الرقمي في ظل ظروف الموجة غير المتماثلة

سيؤدي معدل التآكل الانتقائي الأسرع إلى تشكيل أسرع للمسلة البحرية والوقت الأقل للتراجع الجانبي للجرف البحري ذو الصخور العارية سوف يقلل حجم قمة الرأس التي سوف تُشكّل في النهاية المسلطة البحرية. يُقدر العرض الجانبي للمسلطة البحرية (L_x stack) من خلال طرح كمية الصخور العارية التي فقدتها الشاطئ الجانبي من الرأس الأرضية أثناء الوقت الذي يستغرقه تشكيل المسلطة البحرية (t_0) من عرض الرأس الأولي باتجاه البحر (L_{XA}). ويوضح ذلك من خلال المعادلة (٥) التالية:

$$L_x \text{ Stack} = L_{XA} - (2 E_0 t_0) = L_{XA} - (L_{XB} / N_g)$$

After: Limber et al, 2014

يمكن تقدير طول الشاطئ المستعرض النهائي للمسلطة البحرية (L_y stack) عن طريق طرح الطول المفقود من الشاطئ المستعرض للرأس الذي نقص بفعل تآكل الجرف البحري أمام اليابس عند قمة الرأس من طول الرأس الأولي عبر الشاطئ المستعرض بين موقع بدء المسلطة البحرية وقمة الرأس الأرضية (L_{ys}) أثناء الوقت الذي يستغرقه تشكيل المسلطة البحرية (شكل: ٢)، وتوضّح المعادلة (٦) التالية:

$$L_y \text{ Stack} = L_{ys} - (E_0 t_0) = L_{ys} - (L_{XB} / N_g)$$

After: Limber et al, 2014

ويلاحظ أن (L_{ys}) تساوي (L_y) كما في (شكل: ٢). ويمكن استخراج مساحة المسلطة البحرية بوصفها نتيجة قوة التآكل الانتقائية وشكل الرأس الأولي من المعادلة (٧) التالية:

$$\text{Area Stack} = (L_{XB} - L_{XA} N_g) (L_{XB} - 2 N_g L_{ys}) / (2 N_g^2)$$

After: Limber et al, 2014

توضّح المعادلة (٧) العلاقات النوعية بين التآكل الانتقائي وحجم الرأس الأولي، وحجم المسلطة البحرية الناتج. وبتطبيق المعادلة يتضح أن هناك قابلية لتشكيل المسلطة البحرية من خلال الرأس. حيث إن بعض

اشكال الرأس ونسب الاستدار قدر تكون أكثر ملائمة لتشكيل المسلاة البحرية من غيرها؛ لهذا ينطوي دراسة تأثير شكل الرأس على تشكيل المسلاة البحرية.

ـ تأثير شكل الرأس على تشكيل المسلاة البحرية:

تم دراسة الأشكال المختلفة للرؤوس المتعمعنة في مياه البحر بمنطقة الدراسة ميدانياً، ومن خلال نماذج المحاكاة الرقمية بالدراسة الحالية، والمعادلات الرياضية المختلفة بهدف التتحقق من مدى تأثير شكل الرأس على تشكيل المسلاة البحرية، كما يأتي:

يفترض النموذج الرقمي الحالي أن الشكل الأولي للرأس كان على شكل مستطيل أي أن عرض الرأس الأولي باتجاه البحر (L_{xA}) يساوي تقريباً عرض الشاطئي الجانبي للرأس الأرضية (L_{xB}) وذلك لبساطة وسهولة التفسير. ولكن يمكن دراسة أشكال مختلفة للرأس في الدراسة الحالية وذلك من واقع الأشكال المختلفة للرؤوس التي تم رصدها ميدانياً بمنطقة الدراسة. فإذا كانت المسلاة البحرية تتشكل على أي رأس، وكان النحت الجانبي للجرف البحري أسرع في الجزء المواجه للبابس من الرأس بالمقارنة بالجزء الواقع في اتجاه البحر؛ لهذا فإن الرأس سوف تنفصل من البابس الرئيسي.

إذا كانت الرأس الأرضية أقرب للاستدارة بدلاً من الشكل المستطيل، وينتشر التآكل الجانبي على طول قاعدة الرأس بشكل أكبر خلال المسافة الجانبية (L_{xB}) بالمقارنة إلى التآكل الجانبي على طول الجزء من الرأس في اتجاه البحر (L_{xA}) كما في (شكل: ٢). وهذا يكون أقرب إلى إعطاء السبق للتآكل الجانبي باتجاه البحر حيث يكون السبق للتآكل في الجانب المواجه للبحر من الرأس: يجب أن يحدث البري والتآكل في قاعدة الرأس الأرضية المتصلة بالبابس بشكل أسرع حتى أثناء تشكيل المسلاة البحرية. من ناحية أخرى، فإن الجزء البارز من الرأس في البحر سوف يتآكل بعيداً قبل ما تستطيع المسلاة البحرية أن تتطور. لذلك فإن

قوة التأكيل الانقائية تُصبح أساسية في تشكيل المسلة البحرية مثل شكل الرأس وتغير نسبة جانب الرأس الأرضية.

يتضح من خلال ناتج (معادلة: ٧) أن قيمة مساحة المسلة البحرية تساوي صفر، ويعني هذا أن المسلة البحرية لا تتشكل، ويمكن اكتشاف أي من أشكال الرأس وتسبب جوانب الرأس سوف تكون أكثر ملائمة لتشكيل المسلة البحرية. حيث تُعطي نتائج المعادلة (٧) اثنين من الحلول الممكنة كما توضّحها المعادلة (٨):

$$N_g = R^* (1 / 2 A^*)$$

After: Patrick W. et al. 2015

تمثّل (R^*) أبعاد الرأس المستديرة حيث (R^*) تساوي عرض الشاطئ الجانبي للرأس الأرضية (L_{yB}) / عرض الرأس الأولى باتجاه البحر (L_{yA}) أي ($L_{yA} / L_{yB} = R^*$) و (A^*) تمثل نسبة الجانب من الرأس المتوجّل في مياه البحر ويُقاس من موقع بدء المسلة البحرية أي المسافة الشاطئية بدء من أقصى بروز من الرأس الأرضية في البحر حتى بداية المسلة البحرية حيث ($A^* = L_{yA} / L_{yB}$).

الرأس المستديرة تساوي واحد صحيح حيث تميّز أبعاد الرأس بكبر اتساعها عند قاعدتها المتصلة باليابس، ويزيد اتساعها عند قمة الرأس المتعمقة في اتجاه البحر أي تكون أكثر اتساعاً عند قاعدتها وأضيق عند قمتها. أعلى قيمة من (R^*) تعني أن الرأس الأرضية أكثر استدارة أو أن الرأس مستديرة. وبالتالي سوف تتشكل أصغر مسلة بحرية. وأن أكبر نسبة لجوانب الرأس الأرضية يعني أن أكبر مسلة بحرية سوف تتشكل. كما يتضح ذلك في نموذج المحاكاة (C) في (شكل: ٤). وعندما يتم تجاوز كل من درجات (معادلة: ٨) حينئذ تكون الرأس أكثر ملائمة لتشكيل المسلة البحرية. وفي حالة عدم استيفاء واحد أو كلا الدرجات فإن شكل الرأس حينئذ لا يكون ملائماً لتشكيل المسلة البحرية.

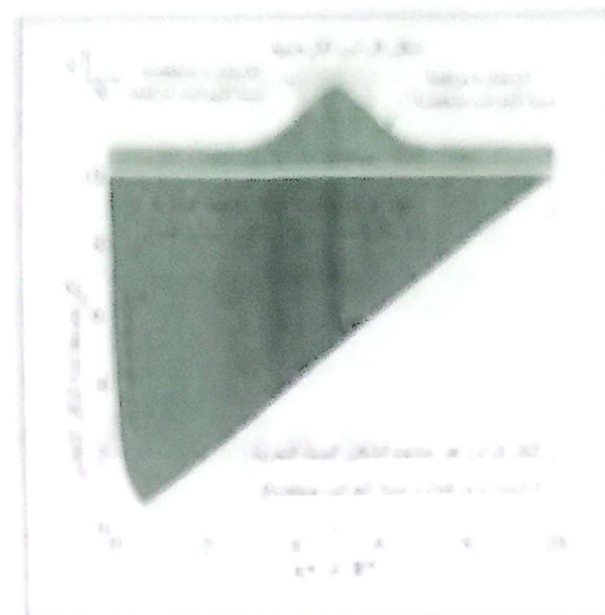
مقدمة تذكرت في مقدمة عرض سلطنة الرئاس من بالتنمية لقوة التأكيل الانتقائية (N)،
فقل من هو عضوي أحد المحظوظين السياسيين فإنه ليس من المزدوج أن تتشكل
المسلطة البحرية من الرأس الازديف، حيث يتطرق التحل الأول بالتنمية
لرس الرأس المحظوظة، أن نفس النسخة للرأس يوجد عند قائدة الرأس
المحظوظة يائياً، والمقدمة التي قدمت الرأس المحظوظة في البحر، ويجب أن
يحدث السرع ترتيب التقائي للبحر في التشكيل المسلطة البحرية،
بالإضافة إلى زملاء قوة التأكيل (N) بحيث تكون أكثر شدة من درجة
الستار الرأس الأعمى الذي سيؤدي إلى تشكيل أكبر مسلطة بحرية، وعندما
تذكرة الرأس الازديف أكثر الستار عن قوة التأكيل (N) فإنه ليس من
رس فيه أن تتشكل المسلطة البحرية.

ويقترح العمل الثنائي أن شدة وقوف التأكيل الانتقائية (N) يجب أن تكون عرقافية بما يمكنه تراجع الحرف البحري الجانبي خلال عرض الشراس بـ π -تأكيل ثير، فـ π -تأكيل الموجه نحو اليابس من اتساع الرأس على الشاطئ المستعرض ويصل الاتساع إلى صفر. لذلك يجب أن تزداد شدة وقوف التأكيل الانتقائي مع تقليل نسبة جوانب الرأس للدعيم تشكيل علة البحرية (Patrick W. et al, 2015, p565).

قيمة ثقة التأكيل (N) مطلوبة للدعيم تشكيل المسلة البحرية ياستخدام التدرجات في المعايرة (٨). ويمكن من خلال الرأس الأولية تحديد ومعرفة قيمة جانب الرأس واستدارة الرأس (شكل: ٨). عندما تكون قيمة جانب الرأس صحيحة أو تكون الرأس أكثر استدارة فيجب أن تكون ثقة التأكيل (N) كبيرة. بصفة عامة الرؤوس التي تكون قاعدتها أضيق من قبائها، ويكون الناطق المستعرض أكثر اتساعاً تصبح تلك الرؤوس أكثر ميلاً إلى تشكيل المسلة البحرية. وتم رصد ذلك ميدانياً (صورة: ٩).

هناك منطقة صغيرة من الرسم البياني في (شكل: ٨) حيث يكون شكل التراس عاتب لتشكيل السلة البحرية على الرغم من أن متوسط قيمة قوة التأكيل (N) أقل من واحد صحيح. عندما يكون متوسط قيمة قوة

التآكل (N_g) أقل من أو يساوي واحد صحيح، ولا يوجد هناك تآكل انتقائي، ويكون التآكل على طول الأجزاء اليابسة المواجهة لليابس من الرأس أبطأ من معدل التآكل في الصخور العارية (E_0) التي يمكن أن تسببها الكثير من طاقة الرواسب الشاطئية كما في (شكل: ٤ ، ٥)، وفي هذه الحالة الخاصة يجب أن يكون شكل الرأس الأولى مثل شكل صخور المشروع، حيث تكون قيمة أبعاد الرأس أقل من واحد صحيح ($1 < R^*$)، ويكون عرض الرأس الجانبي المتصل باليابس أقل من عرض الرأس الجانبي المواجه للبحر. ويوضح ذلك نموذج الرؤوس التي تم رصدها ميدانياً بمنطقة الدراسة، حيث يوضح (شكل ٩ أ) أن شكل الرأس غير مناسب لتشكيل المسلاة البحريّة؛ لأن استدارة الرأس مرتفعة ونسبة الجوانب منخفضة، في حين يتضح من (شكل ٩ ب) أن شكل الرأس يشبه صخور المشروع وبالتالي يكون شكل الرأس مناسب لتشكيل المسلاة (صورة: ١٨). حيث استدارة الرأس منخفضة ونسبة الجوانب مرتفعة، والرأس تكون أكثر توغلًا في مياه البحر وقاعدة الرأس المتصلة باليابس ضيقة جداً وتعرض للتآكل السريع.



شكل (٢) مثلاً بين قليل وعديم
الارتفاع وهو الحال في المثلثات المتساوية
الساقين الهراء



ويتضح من الشروط السابقة لتشكيل المسلة البحرية، وشكل (٨، ٩) أنها تتعلق بالأبعاد المورفومترية الأولية للرأس الأرضية فقط. فمثلاً ظروف الموجة غير المتماثلة لا يمكن أن تدعم في النهاية تشكيل المسلة البحرية حتى لو كانت قيم قوة التآكل، ونسبة جوانب الرأس، وشكل الرأس تُدعم تشكيل المسلة البحرية، لذا فقط تمأخذ الأبعاد المورفومترية للمسلطات ميدانياً كما يلي:

سابعاً: الملاحظات الميدانية على تشكيل المسلطات البحرية ومراحل تطورها:

تم رصد العديد من المسلطات البحرية خلال الدراسات الميدانية لمواقع الرؤوس بمنطقة الدراسة، حيث توجد ١٧ مسلة بحرية على طول الساحل الممتد من رأس الغردقة حتى رأس أبو سومة الذي يبلغ نحو ٥٠ كم، ٣ منها حول رأس الغردقة وأبو منقار، و٧ مسلطات بحرية برأس الضبعة، ومسلطان برأس أبو حصيبة، و٥ مسلطات برأس أبو سومة، بمتوسط كثافة ٠.٣٤ مسلة بحرية/كم، في حين تم رصد ١٣ مسلة بحرية بالساحل الجنوبي لجزيرة الجفتون الصغرى الذي يبلغ طوله نحو ١٠.٥ كم بكثافة تبلغ ٨.٧ مسلة بحرية/كم. ويرجع السبب في ارتفاع عدد المسلطات البحرية بالساحل الجنوبي لجزيرة الجفتون الصغرى إلى كثرة تداخل اليابس والماء، حيث يكثر عدد الرؤوس الأرضية المتعمعقة في مياه البحر وبالتالي تكون أكثر تعرضاً لنحت الأمواج المحمولة بالرواسب الأمر الذي يزيد من فرضة انفصال العديد من المسلطات البحرية. ويصل عدد الرؤوس البارزة في البحر إلى نحو ٢٧ رأس أرضية في قطاع ساحلي لا يزيد على ١٠.٥ كم بكثافة ١٨ رأس/كم. وتكثر الأودية المنحدرة فوق سطح الجزيرة التي تلقي بروابتها في مياه البحر وتقطع خط الساحل الجنوبي لجزيرة عند مصبات الأودية ذات الرواسب الضعيفة التي يسهل النحت فيها مما يؤدي إلى تراجع خط الساحل نحو يابس الجزيرة في تلك المواقع مشكلاً الشروم البحرية التي تنحصر بين الرؤوس الأرضية البارزة في مياه البحر.

لتتميز المسلاط البحرية بتباعين أحجامها وارتفاعاتها، حيث يتراوح طولها بين ٧٠ سم و ٢٠.٥ متر، وعرضها بين ٤٠ سم و ١ متر، وارتفاعها بين ٣٠ سم و ١٠.٥ سم على الجانب الشرقي والجنوب الشرقي من رأس الضبعة. ويتراوح طولها بين ٨٠ سم و ٢٠.٥ متر، وعرضها بين ٥٠ سم و ١٠.٥ متر، وارتفاعها بين ٨٠ سم و ١٠.٥ متر على الجانب الشمالي الشرقي والجنوبي الغربي من رأس أبو حصيبة. ويتراوح طولها بين ١٢٠ سم و ٢٠٢٥ متر، وبين ٠.٥ متر، وارتفاعها بين ٠٠.٥ متر و ١٠.٥ متر على الجانب الشرقي من رأس أبو سومة، كما يتراوح طولها بين ٩٠ سم و ٢٠٢٥ متر، وعرضها بين ٥٠ سم و ١ متر، وارتفاعها بين ١ - ١.٥ متر على الجانب الشرقي لرأس الغردقة وأبو منقار. في حين تميزت المسلاط المنتشرة أمام الرؤوس البارزة من الساحل الجنوبي لجزيرة الجفتون الصغرى بضخامتها النسبية عن مسلات الرؤوس الأخرى، حيث يتراوح طولها بين ٢ - ٣ متر، وعرضها بين ١ متر - ١.٨ متر، وارتفاعها بين ١ متر - ٢ متر.

يلاحظ على بعض المسلاط أن هناك خط أكثر قتامة حول قاعدة بعض المسلاط البحرية، ويفصل الجزء السفلي ذو اللون الأسود عن المنطقة الرمادية الداكنة العليا. ويمثل هذا الخط علامة المد العالي ويشير إلى الحد العام الذي يفصل بين المناطق الخاضعة لتأثير مياه البحر وعمليات التجوية (صور: ٧ - ١١). تظهر على المسلاط البحرية آثار التجوية من حفر إذابة وأثر تمدد وانكماس وتوسيع للشقوق الموجودة بها، كما يظهر عند أجزائها السفلية آثار التقويض السفلي وعمليات الأكسدة، كما تملأ بلورات الملح بعض الحفر والشقوق المنتشرة بها بعد تبخر المياه منها، ويوجد بها أيضاً بقايا أصداف وحيوانات بحرية متحجرة، وتبعد هذه المسلاط عن الجروف بمسافات تتراوح بين ٠٠.٥ متر و ٥ أمتار.

يلاحظ بالساحل الجنوبي من جزيرة الجفتون الصغرى وجود ثلاث مسلات بحرية على استقامة واحدة بالقرب من البحر، مما يدل على أنها

بالطايا خطط الجرف القديم، بينما يتراجع خطط الجرف الجديد إلى الخلف منها (صورة: ١٥)، بللاحظ أن المسلطات الثلاثة الآن أقرب إلى البحر من الجروف الحالية، وغالباً ما تكون أكثر تقوضاً في قواعدها من تلك المسلطات الأقرب إلى الشاطئ لأنها تكون أقدم في العمر الزمني. تكثر مظاهر الضعف الصخري بالجروف حيث تكثر بها الشقوق والفوائل مما يجعل الجروف أكثر عرضة للتآكل من المسلطات البحرية المتبقية التي يقل بها الشقوق والفوائل. ويلاحظ أيضاً أن هناك خطوط بيضاء تنزل من المنحدرات العليا للمسلطات البحرية بمنطقة الدراسة، حيث تمثل فضلات طيور الذورس وغيرها من الطيور البحرية الأخرى.

- مراحل تشكيل وتطور المسلطات البحرية ميدانياً:

تم ميدانياً تحديد مراحل تشكيل وتطور المسلطات البحرية بمنطقة الدراسة، حيث تتشكل المسلطات البحرية عادة في الصخور الرسوبيّة الطبقيّة الأفقية ولا سيما على الجروف الجيري. تتالف المسلطات البحرية من الصخور الجيريّة الأقل مقاومة لعمليات البري والتآكل، وهناك طبقة أكثر مقاومة قد تشكّل قمة المسلة البحرية. ويقترح الباحث مراحل تطورية لتشكيل المسلة البحرية من خلال الملاحظات الميدانية والصور الفوتوغرافية للمسلطات البحرية بمنطقة الدراسة وشكل (١٠) كما يلي:

مرحلة الرأس الأرضية: تبدأ عملية تشكيل المسلطات البحرية عادة عندما توجد رأس أرضية متعمقة في مياه البحر، وتتألف تلك الرأس من صخور تكثر بها عوامل الضعف الصخري مثل الشقوق والفوائل مما يزيد من قابليتها للبري والتآكل، وعندما تهاجم مياه البحر الشقوق الصغيرة الموجودة في الرأس الأرضية وتقوم بتوسيعها الأمر الذي يؤدي إلى تشكيل فتحات في الرأس (صورة: ١، و ٢).

مرحلة الكهف البحري: تتسع الشقوق تدريجياً نتيجة استمرار هاجمة الأمواج للرأس وزيادة نشاط عملية بري الأمواج المحمّلة بالروابط خلال الشقوق والفوائل المنتشرة بالرأس حتى تصبح أكثر اتساعاً وعمقاً وتحول إلى كهف صغير في أحد جانبي الرأس الأرضية. تحدث الكهوف

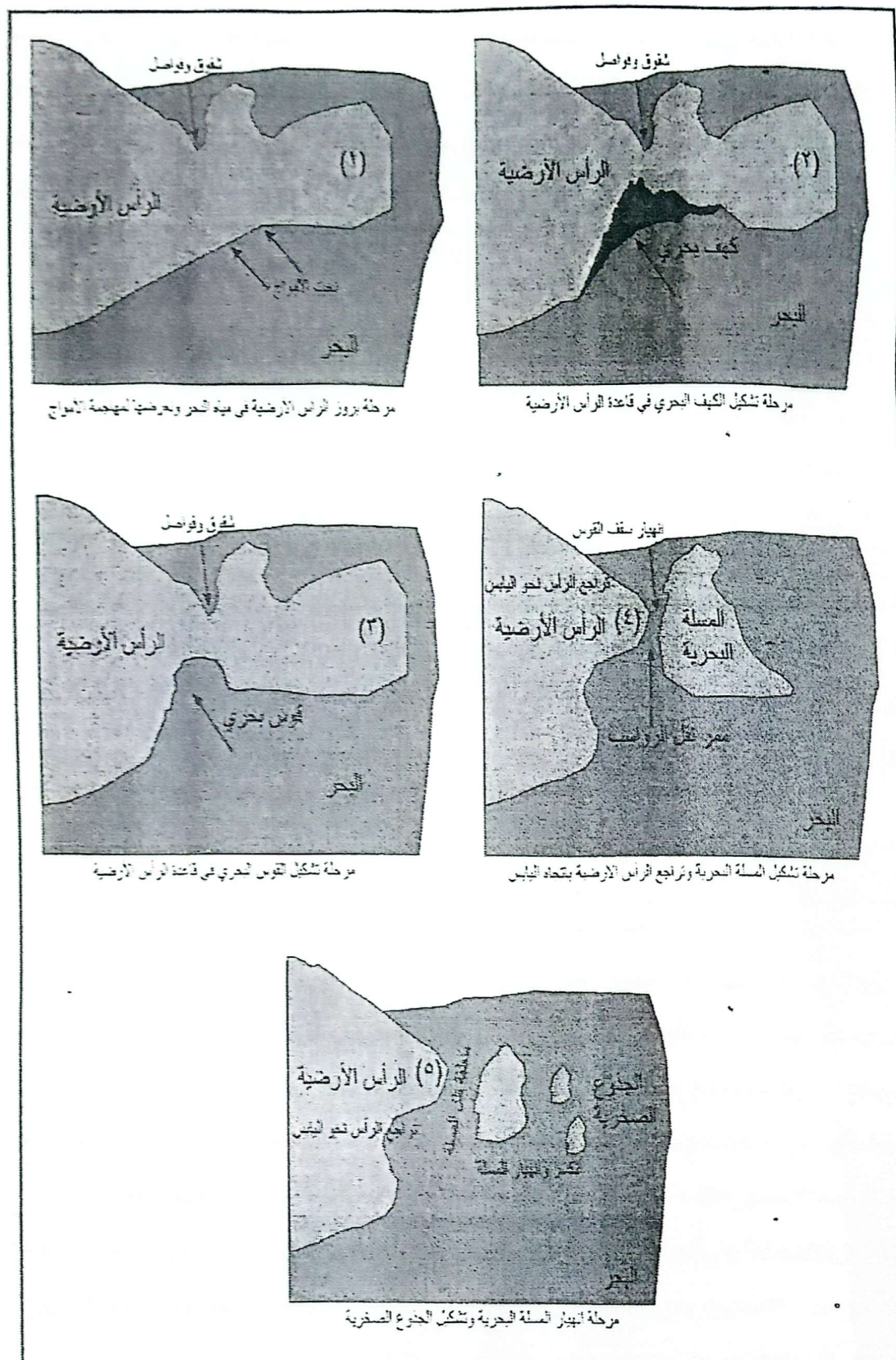
عندما تشق الأمواج إلى داخل الشقوق الموجودة في وجه الطرف البحري، تحتوي المياه على الرمال وتحيرها من المواد التي تستخدمنا مكادلات للنحت الجانبي في الصخر حتى تصبح الشقوق إلى كهوف. الفعل الهيدروليكي للماء هو العملية السائدة (صورة: ٣).

مرحلة القوس البحري: إذا تم تشكيل الكهف في الرأس فإن زيادة نحت الأمواج في الكهف سوف يؤدي إلى زيادة تأكل الكهف ويزداد عمقه من خلال الرأس، وفي النهاية تُتّقدِّم الرأس على شكل نفق ويتشكل ممر تنفذ من خلاله مياه البحر إلى الجانب الآخر من الرأس، ويحصل الكهف عبر الرأس إلى الجانب الآخر من الرأس ويتشكل بذلك القوس البحري (صورة: ٤).

مرحلة المسلة البحريّة: بسبب استمرار نحت الأمواج في القوس البحري يتسع القوس تدريجياً ويصبح أكبر حجماً واتساعاً لدرجة أن القوس لم يُعد قادراً على دعم سقف القوس الذي تكثّر به الشقوق والفوائل وبالتالي ينهار سقف القوس بفعل الجاذبية الأرضية. وعندما ينهار القوس فإنه يترك الرأس الأرضية على الجانب المواجه للباس والمسلة البحريّة فوق مياه البحر باتجاه البحر على شكل عمود صخري قائم فوق مياه البحر بعيداً عن الساحل وبذلك يكون قد تم تشكيل المسلة البحريّة. بعض المسلات البحريّة تستمر قائمة لفترة طويلة جداً من الزمن ربما لأنها لم تتعرض للغمر البحري بسهولة (صورة: ٥).

مرحلة الجنوح الصخريّة: تتعرض قواعد المسلات البحريّة لهجوم الأمواج والبرى والتآكل حيث يؤدي النحت الموجي في قواعد المسلات إلى إضعاف بنية المسلات البحريّة مما يساعد على تشكيل فجوات الأمواج في قواعد المسلات البحريّة حيث تتطور تلك الفجوات إلى كهوف ثم أقواس بحريّة في قواعد المسلة البحريّة الأمر الذي سيؤدي في النهاية إلى انهيار المسلة البحريّة تاركة الجزء المتبقّي من المسلة على شكل أعمدة صخريّة قصيرة الذي يطلق عليها جذع المسلة أو الجنوح الصخريّة stumps. هذا الجزء المتبقّي من المسلة عادة ما يُشكّل جزيرة صخريّة

صغيرة منخفضة بما فيه الكفاية مما يؤدي إلى غمرها وأحياناً لها قاع مياه المد العالي بينما تظهر شفط آثار المجزر (صورة ٦).
 ومن خلال مراحل تشكيل وتطور المسلاة البحرية يمكن تعریف تشكيل المسلاة البحرية على أنها عبارة عن عملية قتم بواسطة خط الساحل الصخري الذي يمكن أن يستقيم ويظل أكثر استقرارية، وسقادة ممرات نقل الرؤاس، يتم إنشاء ممرات نقل الرؤاس، وتشكل المسلاة البحرية التي اقتطعت وانفصلت من الرؤوس في الشاطئ القريب. هذه العملية تشبه عملية قطع المنعطفات النهرية وتشكل قناة مستقيمة، وترك بحيرة هلامية مقطعة خلفها. تظل المسلاة البحرية تمارس التحكم على الساحل حتى بعد تشكيلها، وذلك عن طريق ظل المسلاة حيث تعمل المسلاة على حماية الساحل خلفها من الأمواج المترقبة من الساحل، ويمكن للمسلاة البحرية أن تنشأ نقطة تجمع محلية لنقل الرؤاس على طول الشاطئ الجانبي. ونتيجة لذلك قد يتشكل التوأمبوتو ويتطور ويعيد اتصال المسلاة البحرية باليابس الرئيسي، كما تقوم المسلاة البحرية بحماية الجروف البحرية التي تقع خلفها من تأثيرات الأمواج القادمة. وفي النهاية سوف تأكل المسلاة البحرية وتحتفظ منطقة الظل مما يتسبب في تعديل وضبط مسار خط الساحل مرة أخرى.



شكل (١٠) مراحل تشكيل وتطور المسلة البحرية بمنطقة

الخاتمة:

تُقدم الدراسة الحالية نموذج رقمي وتقديم كمي لتشكيل المسلاط البحرية بواسطة البري، فضلاً عن نتائج وعمليات النموذج التي يمكن تطبيقها على السواحل الفقيرة بالرواسب. تقترح النماذج الرقمية والتحليلية المقترنة الزمانية لتشكيل المسلاط البحرية (معادلة: ٤). يوفر البري مصدر للتأكل جوانب الرأس التي تقع في مواجهة البري على طول الساحل الممتد من رأس الغردقة حتى رأس أبو سومة وهو ساحل غني بآبار واسب الشاطئية. لوحظ أن العديد من المسلاط قد تتشكل بسبب تأكل الرأس في كلا جانبيها، وتقترح الدراسة الحالية آلية البري كآلية ممكنة لتشكيل المسلاط بمنطقة الدراسة. تسمح نتائج النموذج الرقمي بتفسير معدل التأكل الانتقائي (N) باعتباره معدل التأكل الانتقائي للجرف البحري الذي لا يحدث بالضرورة نتيجة البري. تطابق هذه العمليات يساعد على اختصار زمن تشكيل المسلاط البحرية، وتجعل الرأس أكثر ميلاً لتشكيل المسلاط البحرية. ويُفسر هذا إمكانية تطور المسلاط البحرية بسرعة جداً خلال عقود أو أقل من الرأس الموجودة، ويُفسر أيضاً انتشار المسلاط في بعض السواحل وعدم انتشارها في البعض الآخر.

تنفصل الرؤوس الصخرية عن بعضها بواسطة تجويفات الشواطئ أو بالشروع والخلجان البحرية وهي السمة المشتركة الشائعة بمنطقة الدراسة، ويرجع ذلك إلى انخفاض إمدادات الرواسب المستمرة، وتكون الشواطئ الرملية قليلة الوجود. الشواطئ طويلة ومستمرة ولكن في كثير من الأحيان ضيقة، والرؤوس الصخرية العارية من الرواسب نادرة. على الرغم من أن كثافة المسلاط البحرية تتناسب عكسياً مع إمداد الرواسب في هذه المقارنات الأولية، فإنه من الصعب فصل تأثيرات ظروف الموجة، وإمدادات الرواسب، ونوع الصخور من حيث كثافة الشقوق والفاصل لها من تأثير مهم في تشكيل المسلاط البحرية.

تقرب الأمواج بوضوح من الشاطئ من اتجاهات وزوايا مختلفة، ووفقاً لذلك فإن الشاطئ يظل قريب من الاستقامة بدلاً من الشكل الصدفي الذي يتميز بكثرة التنويعات المدور، وتراجع الشاطئ الجانبي للرأس ضئيل جداً لذا فإن المسلطات البحرية لا يمكن أن تتطور.

يتضح من خلال النموذج الرقمي أنه إذا كان تراجع الجرف ضئيل جداً ولا يذكر بالمقارنة إلى تراجع الجانب المواجه للبابس، وكانت الخصائص الليتوлогية للجرف البحري متماثلة على طول الشاطئ الجانبي فإن تراجع الرأس باتجاه البابس سوف يتساوى تدريجياً مع تراجع الخليج باتجاه البابس، والرؤوس سوف تصمد أمام البري لذا لن تتطور المسلطات. بالإضافة إلى الشاطئ المستقيم، والعوامل الطبيعية التي يمكن أن تسبب التراجع الجانبي للجرف البحري حيث يكون تأثير تلك العوامل بطيء على الرؤوس لذا يمكن أن يعتمد تآكل الجرف على زاوية الموجة القادمة مما قد يؤدي إلى إبطاء التآكل على جانبي الرأس؛ أو أن الرأس تحمي خط الساحل المحيط من طاقة الأمواج القادمة بما في ذلك جوانب الرأس.

تميز سواحل الرؤوس المنتشرة بمنطقة الدراسة بالشروط الملائمة لتشكيل المسلطات البحرية وهي:

١ - ظروف الموجة غير المتماثلة، ٢ - الحد الأقصى لقوة البري أو شدة التآكل الانتقائي تكون عالية، ٣ - مساحة الرأس الأولية تكون كبيرة، ٤ - تميز أبعاد الرأس الأولية بأن قاعدتها المتصلة بالبابس ضيقة نسبياً إلى قمة الرأس المتعمقة في مياه البحر، وكبر اتساع الشاطئ المستعرض. وتقترن المقارنات الأولية لدراسة موقع المسلطات بمنطقة الدراسة أن كثافة المسلة البحرية تتناسب عكسياً مع إمدادات الساحل بالروابض، على الرغم من العديد من العوامل الأخرى مثل نوع الصخور التي تؤثر على تشكيل المسلة.

ప్రాణి

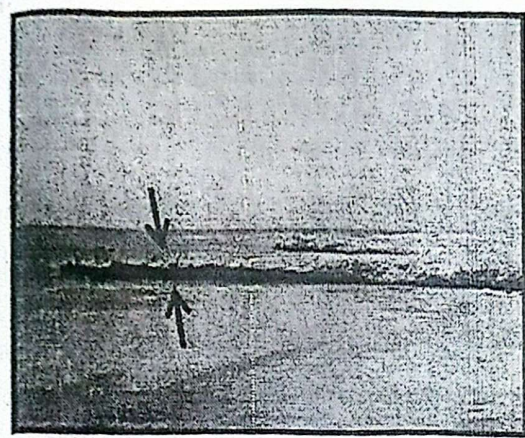
تشتهر بجوبهات الشواطئ على طول جوائب الترؤوس التي غالباً تكون منحنية وضيقة لغير نطاق الموجة لها فإن البري يمكن أن يجعل من تأكيل وجه الحرف على طول الساحل. يسبب البري في النهاية التأكيل الانتقائي الذي يمكن أن يشق قناة عبر الرأس، ويفصلها عن اليابس الرئيسي كسلة وذلك في وجود أمواج متتماثلة، حيث يكون تأثير الأمواج المقتربة من خط الساحل متساو من اليمين ومن اليسار.

تشير نتائج النموذج الرقمي والتحليلي أن زمن تشكيل المسلة البحرية وحجم الشكل يكون متناسب مع كثافة التاكل الانتقائي التي تسببها الضوابط الجيوهورولوجية والشكلية مثل البري، وضعف الصخور التي تتألف منها الرؤوس حيث تكثر بها الشقوق والفوائل، ونسبة بروز واجهة الرأس الأولية. يضاف إلى هذه الضوابط الجيوهورولوجية والشكلية ظروف الأمواج غير المتماثلة للغاية التي تقلل من حجم المسلة البحرية وتعوق تشكيل المسلة البحرية من خلال تفاعلات رواسب الصخور.

يؤدي التراجع السريع للجرف البحري إلى توفر كميات كبيرة من الرمال والرواسب الشاطئية مما يعوق عملية تشكيل المسلاط البحرية. وعندما تكون نسبة بروز واجهة الرأس الأولية في مياه البحر صغيرة جداً، وتكون الرأس مستديرة حيث تكون قاعدتها المتصلة باليلابس أكثر اتساعاً في اتجاه الشاطئ الجانبي من قمتها المتع剜قة في اتجاه البحر؛ لهذا يكون شكل الرأس أقل مساهمة في تشكيل المسلة البحرية. وتمر المسلاط

البحرية بخمسة مراحل تطورية وهي: مرحلة الرأس الأرضية البارزة في مياه البحر، ومرحلة الكهف البحري، ومرحلة القوس البحري، ومرحلة المسلة البحرية، ومرحلة الجذوع الصخرية.

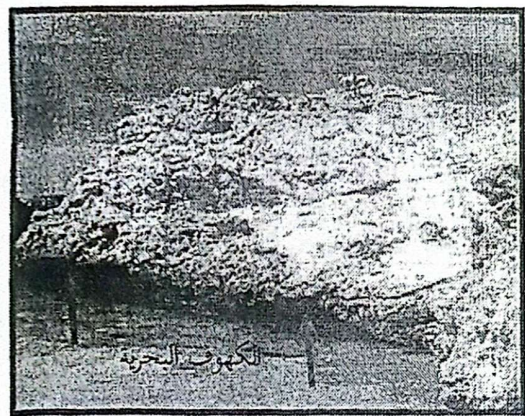
تصلح المسلطات البحرية غالباً كموقع لتعشيش الطيور بسبب عزلتها، وعدم وجود الحيوانات المفترسة وسهولة الوصول إلى المواد الغذائية. أصبحت العديد من المسلطات موقع لتربية الطيور البحرية المهمة مثل النورس وغيرها، حيث يمكن للمسلطات البحرية أن توفر موقع تعشيش مهم للطيور البحرية، والعديد من المسلطات يكون محبب لدى راغبي تسلق الصخور وأخذ الصور التذكارية؛ لذا توصي الدراسة بجعل المسلطات البحرية بمنطقة الدراسة ك محميات طبيعية. حيث تم رصد تعدادات كبيرة على مواقع المسلطات البحرية برأوس الغردة، وأبو منقار، والضبعة، وأبو سومة من أجل تسوية السواحل لإقامة المجتمعات السياحية.



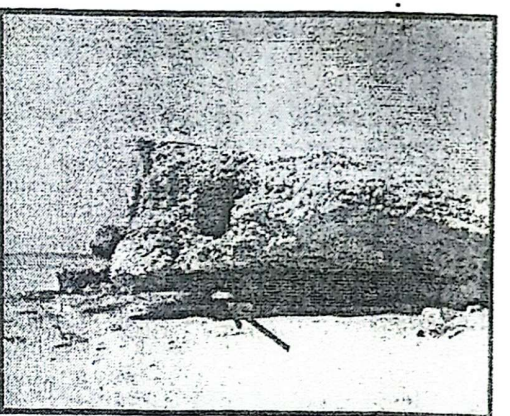
صورة (١) الرؤوس المتممة في البحر وتعرضها لهاجحة الأمواج بجزيرة الجفتون الصخرى، وتمثل المرحلة (١) لتشكيل المسلاط البحرية. الصورة جهة الشمال



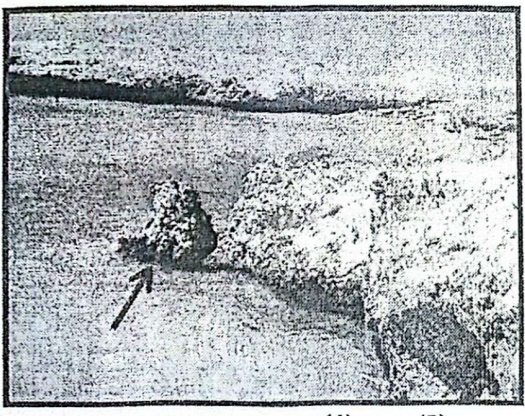
صورة (٢) النحت السقلي في قواعد الرؤوس المتممة في البحر بجزيرة الجفتون الصخرى. الصورة جهة الشمال



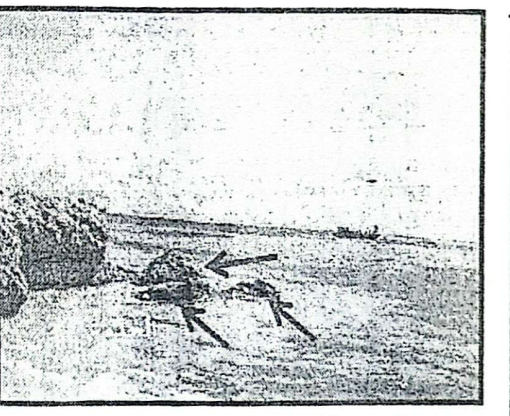
صورة (٣) مرحلة (٢) تشكيل الكهوف البحرية في قواعد الرؤوس بجزيرة الجفتون الصخرى. الصورة جهة الشمال



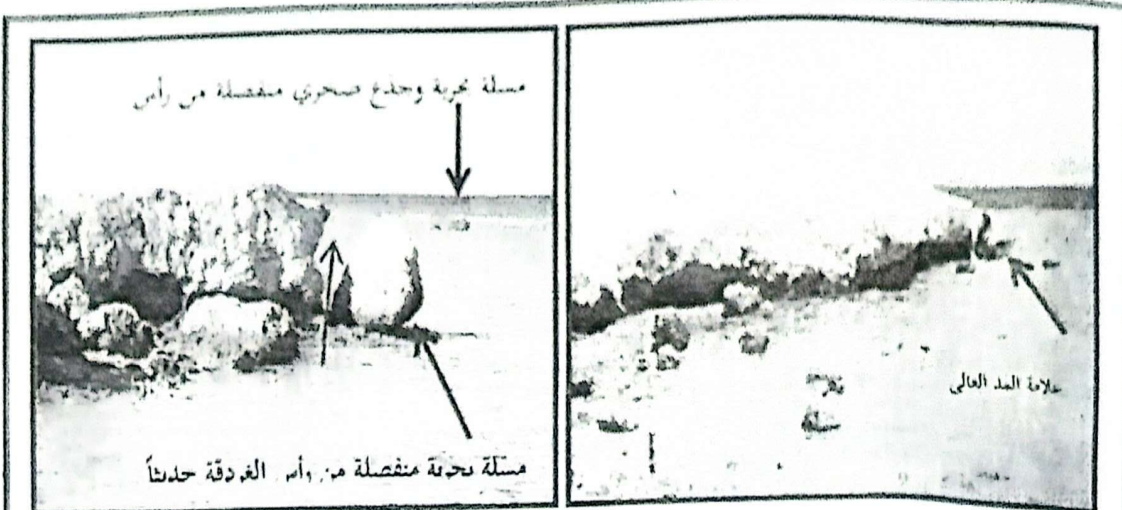
صورة (٤) مرحلة (٣) تطور الكهوف وتشكيل الأقواس البحرية بجزيرة الجفتون الصخرى. الصورة جهة الشمال



صورة (٥) مرحلة (٤) انهيار القوسين البحري وتشكيل المسلاط البحرية بجزيرة الجفتون الصخرى. الصورة جهة الشمال

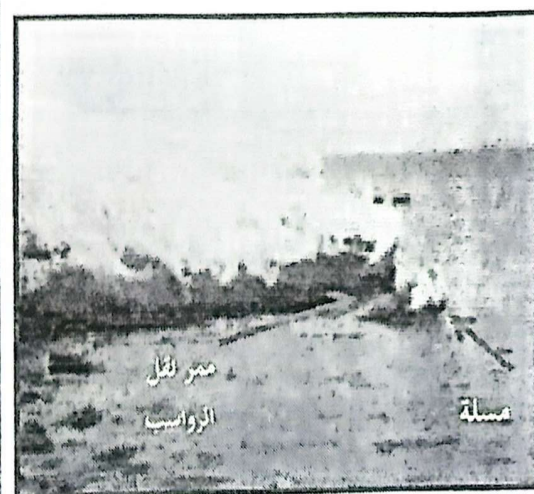


صورة (٦) مرحلة (٥) المياد وتكسر المسلاط البحرية وتشكيل الجنوح الصخرى بجزيرة الجفتون الصخرى. الصورة جهة الشمال

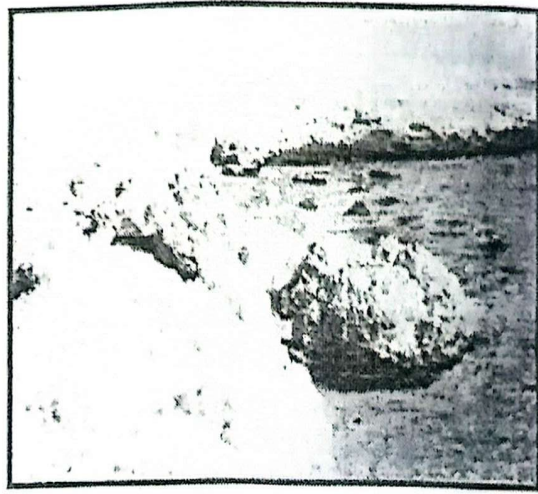


صورة (٧) المسالات البحرية برأس أبو منقار وتظهر عليها علامات المد العالي وأثار التحمة الصدمة حنة الشة

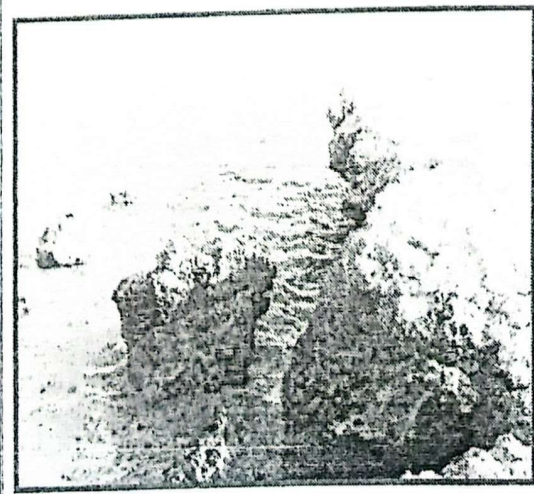
صورة (٨) المسالات البحرية برأس أبو منقار وتظهر عليها علامات المد العالي وأثار التحمة الصدمة حنة الشة



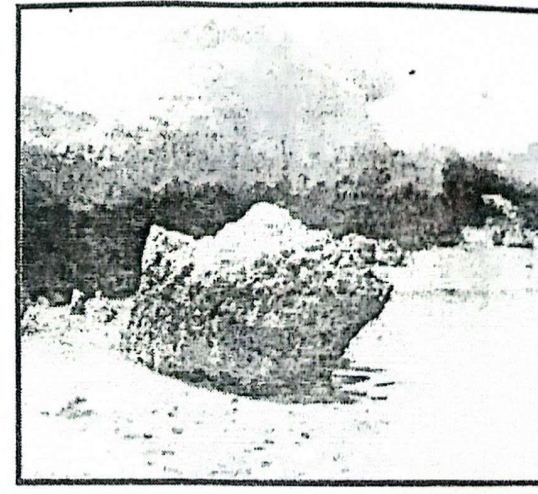
صورة (٩) المسالات البحرية المنتشرة أمام رأس الضبعة، ومفترط الروابط تارها الأأس نحو اليم الصدمة حنة الشة



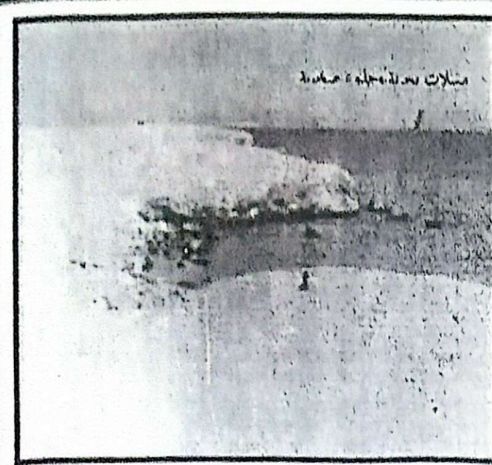
صورة (١٠) المسالات البحرية المنتشرة أمام رأس الضبعة ويظهر تارها الأأس نحو اليم الصدمة حنة الشة



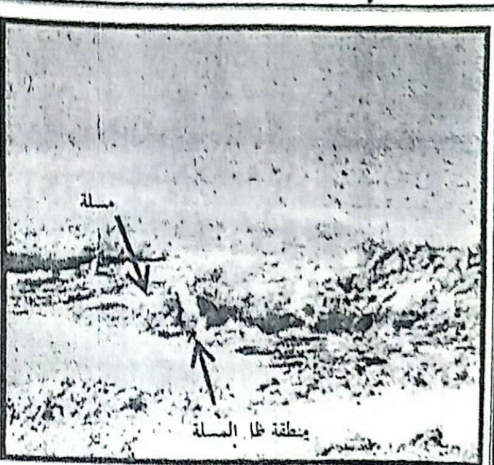
صورة (١١) المسالات البحرية والجذوع الصخري المستشرة أمام رأس أبو سومة. الصورة جهة الحرب



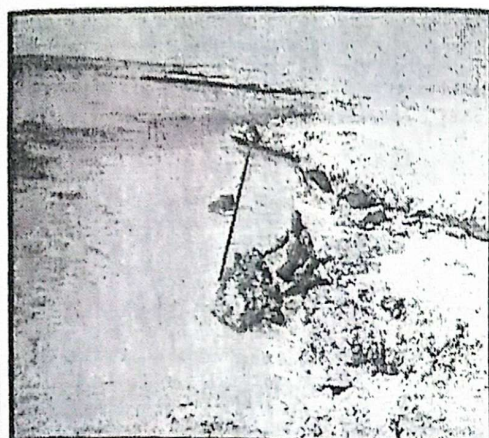
صورة (١٢) المسالات البحرية المنتشرة أمام رأس أبو سومة وظلت آثار التحمة على الصدمة حنة الدرب



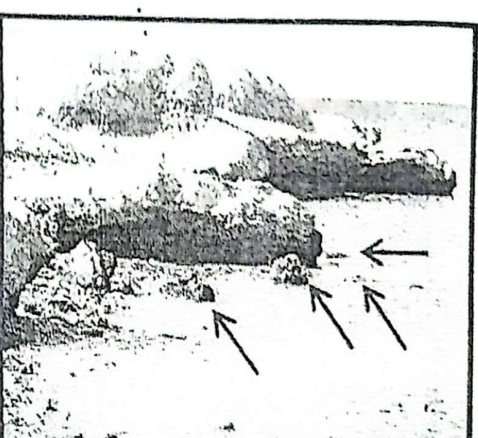
صورة (١٣) المسالات البحريّة والجلوؤ الصخريّة المنتشرة أمام آثار حصن المد والجزء الجنوبي من جبهة الشمال.



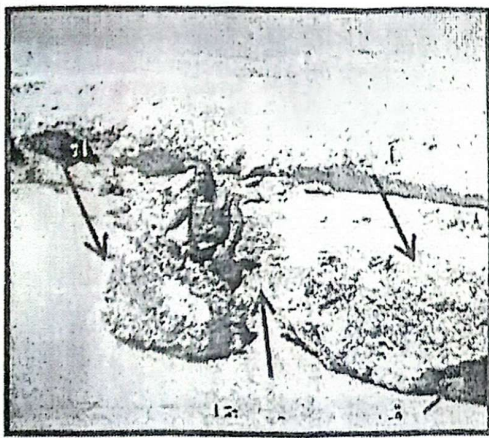
صورة (١٤) مسالة بحرية بجزيرة الجفتون الصغرى، وظاهر منطقة طل المسالة الأم، المسالة الصغيرة جهة الشرق.



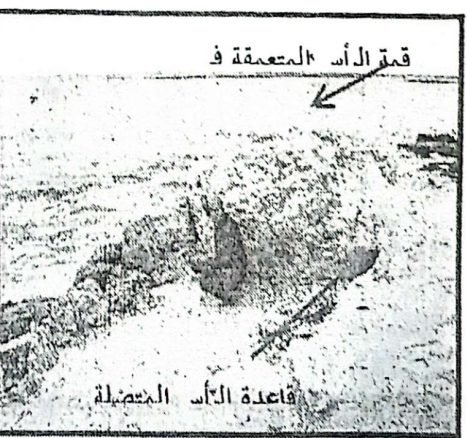
صورة (١٥) للات مسالات بحرية على استقامة واحدة متصلة في نهاية البحر، وتوضح مستوى الجرف القديم بجزيرة الجفتون الصغرى. الصورة جهة الشمال.



صورة (١٦) الحاجز الصخري المتسلسل رأس أبو حسيبة، وظاهر على علامات المد والجزء الجنوبي جهة الشرق.



صورة (١٧) مسالة بحرية، وظاهر مير نقل الرواس، ويطير فوس بحرى أعلى الرأس بين الصورة بجزيرة الجفتون الصغرى. الصورة جهة الشمال.



صورة (١٨) رأس أرضية على شكل الشروم مما يسمى في تشكيل مسالة بحرية مستقلًا الصورة جهة الشمال الشرقي.

المراجع العربية:

- السيد السيد الحسيني (١٩٨٨): الجزر النيلية بين نجع حمادي وأسيوط (مصر العليا)، رسائل جغرافية، نشرة دورية يصدرها قسم الجغرافيا بجامعة الكويت والجمعية الجغرافية الكويتية، العدد ١١٤، الكويت.
- سيد محمود مرسي (٢٠٠٢): جيومورفولوجية الرؤوس بساحل البحر الأحمر بين رأس جمسة ورأس بناس، رسالة ماجستير غير منشورة، كلية الآداب، جامعة القاهرة.
- كمال الدين حسن البتانوني (١٩٨٩): الأوضاع البيئية لجزر البحر الأحمر (جزر البحر الأحمر- الملف العلمي) معهد البحوث والدراسات العربية.

المراجع الأجنبية:

- Andrew S. Goudie (2004): Encyclopedia of Geomorphology, Routledge, London, Volume 2.
- Ashton A, Murray AB, Arnoult O. (2001): Formation of coastline features by large-scale instabilities induced by high-angle waves. Nature 414.
- Ashton A, Murray AB. (2006a): High-angle wave instability and emergent shoreline shapes: 1. Modeling of sand waves, flying spits, and capes. Journal of Geophysical Research 111. at a cliff base. Earth Surface Processes and Landforms 7.
- Beltagy, A.I, (1983): Hydrography of the Red Sea Water Near Al. Hardava, Bull. Inst. Oceanog. And Fish, Cairo, Vol. 9, PP 69-77.
- Blanco-Chao R, Perez Alberti A, Trenhaile AS, Costa Casais A, Valcarcel-Diaz M. (2007): Shore platform abrasion in a paraperiglacial environment, Galicia, northwestern Spain. Geomorphology 83.

- British Admiralty, (1967): Red Sea and Gulf of Aden pilot, London.
- Dickson ME, Woodroffe CD. (2005): Rock coast morphology in relation to lithology and wave exposure, Lord Howe Island, southwest Pacific. NF 49(2).
- Emery KO, Kuhn GG. (1982): Sea cliffs: Their processes, profiles, and classification. Geological Society of America Bulletin 93.
- Glossary of Geology and Related Sciences (1957): The American Geological Institute, USA.
- Hapke C, Reid D. (2007): National Assessment of Shoreline Change, Part 4: Historical Coastal Cliff Retreat along the California Coast, US Geological Survey Open-file Report 2007. US Geological Survey: Reston, VA; 51.
- Kline SW, Adams PN, Limber PW. (2014): The unsteady nature of sea cliff retreat due to mechanical abrasion, failure and communication feedbacks. Geomorphology 219.
- Limber PW, Murray AB, Adams P, Goldstein E. (2014): Unraveling the dynamics that scale cross-shore headland relief on rocky coastlines: 1. Model development. Journal of Geophysical Research - Earth Surface 119.
- Limber PW, Murray AB. (2011): Beach and sea cliff dynamics as a driver of rocky coastline evolution and stability. Geology 39(12).
- Naylor LA, Stephenson WJ, Trenhaile AS. (2010): Rock coast geomorphology: recent advances and future research directions. Geomorphology 114.
of La Jolla, California, and their bearing on similar features elsewhere. Marine Geology 51(1-2).
- Patrick W. Limber and A. Brad Murray. (2015): Sea stack formation and the role of abrasion on beach-mantled headlands, Earth Surface Processes and Landforms 40.

- Porter NJ, Trenhaile AS, Prestanski KJ, Kanyaya JI. (2010a): Shore platform downwearing in eastern Canada: micro-tidal Gaspe, Quebec. Geomorphology 116.
- Sallenger AH, Krabill W, Brock J, Swift R, Manizade S, Stockdon H. (2002): Sea cliff erosion as a function of beach changes and extreme wave runup during the 1997–1998 El Nino. Marine Geology 187.
- Shepard FP, Kuhn GG. (1983): History of sea arches and remnant stacks
- Soliman, G.F. & Gegres, M., (1983): Effect of Bottom Topography on the tide in the Red Sea. Bull. Instit. Oceanog . & Fish., Cairo, Vol. 9, PP. 42-47.
- Sunamura T. (1982): A wave tank experiment on the erosional mechanism
- Sunamura T. (1992): Geomorphology of Rocky Coasts. John Wiley & Sons: Singapore.
- Trenhaile AS, Pepper DA, Trenhaile RW, Dalimonte M. (1998): Stacks and notches at Hopewell Rocks, New Brunswick, Canada. Earth Surface Processes Landforms 23.
- Trenhaile AS. (2005): Modelling the effect of waves, weathering and beach development on shore platform development. Earth Surface Processes and Landforms 30.
- Valvo L, Murray AB, Ashton A. (2006): How does underlying geology affect coastline change? An initial modeling investigation. Journal of Geophysical Research 111.
- Walkden MJA, Hall JW. (2011): A mesoscale predictive model of the evolution and management of a soft-rock coast. Journal of Coastal Research 27(3).
- Wolinsky MA, Murray AB. (2009): A unifying framework for shoreline migration: 2. Application to wave-dominated coasts. Journal of Geophysical Research 114.
- Young AP, Ashford SA. (2008): Instability investigation of cantilevered Sea cliffs. Earth Surface Processes and Landforms 33.

